補強土工法の基礎から応用まで - RRR工法の歴史と特徴 -(全編12回) No.4

- 1. 地盤・盛土の強化改良の必要性と補強土工法の概説
- 2. 盛土補強土工法による土構造物の復権と発展 - 補強土の原理と40年の経験 -
- 3. 地山補強土工法による斜面の安定化

東京大学・東京理科大学名誉教授 龍岡文夫

まず、

 地盤・盛土の強化改良の 必要性と補強土工法の概 説

です。

盛土補強土工法による土構造物の復権と発展

- 1)擁壁の力学的原理と補強土擁壁
- a)従来形式の擁壁は片持ち梁!補強土擁壁は?
- b)ジオテキスタイル補強土擁壁の施工例
- 2)補強土工法のメカニズム(つづき)
- 3) 剛な一体壁面工を持つジオテキスタイル補強土擁壁
- a)剛な一体壁面工の効用
- b)段階施工の効用
- c) 洪水·豪雨·津波と補強土およびレベル2地震動を考慮した耐震設計
- 4) GRS橋台とGRS一体橋梁
- a) 従来形式の橋梁の諸問題を解決
- b) 低い建設費、高い維持管理性·耐震性/耐津波性
- c)施工例

2)補強土工法のメカニズムのつづきです。

補強土工法のメカニズム(まとめ)-1

基本原理:

無補強の盛土・地盤が破壊する時に内部で発生するひずみを、補強材を配置することによって抑制して、盛土・地盤が破壊しないようにする

- ⇒効果的な補強材配置には、
- ①そのひずみが発生する領域の位置と、
- ②主ひずみ(最大圧縮ひずみと最大引張りひずみ)の方向が重要な情報となる。

三つの分野で議論:

- 1) 補強による支持力の向上
- 2) 補強による斜面の安定
- 3) 抗土圧 一補強土擁壁

繰返しですが、ここに書いてあるのが、補強メカニズムの基本原理です。盛土に限らず地山の補強にも当てはまります。

つまり、「補強土工法」とは、 「無補強の盛土・地盤が破壊する時に内部で発生するひずみを、 補強材を配置することによって 抑制して、その結果、盛土・地盤 が破壊しないようにする」工法で す。

従って、効果的に補強材を配置するのには、

- ①そのひずみが発生する領域 の位置と、
- ②主ひずみ(最大圧縮ひずみと 最大引張りひずみ)の方向 が重要な情報となります。

補強土工法のメカニズム(まとめ)-1

基本原理:

無補強の盛土・地盤が破壊する時に内部で発生するひずみを、補強材を配置することによって抑制して、盛土・地盤が破壊しないようにする

- ⇒効果的な補強材配置には、
- ①そのひずみが発生する領域の位置と、
- ②主ひずみ(最大圧縮ひずみと最大引張りひずみ)の方向が重要な情報となる。

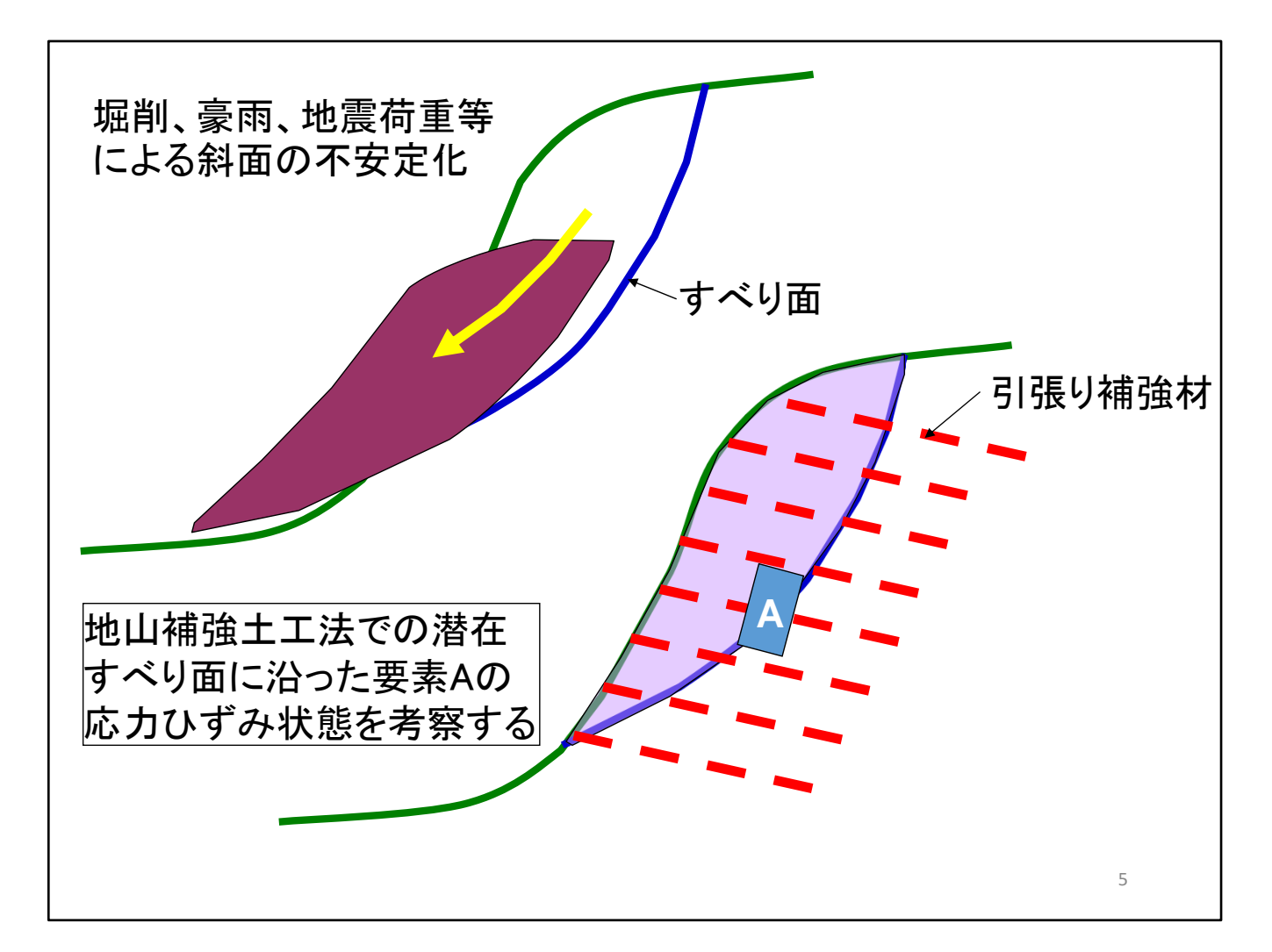
三つの分野で議論:

- 1) 補強による支持力の向上
- 2) 補強による斜面の安定
- 3) 抗土圧 一補強土擁壁

この三つの分野で、この原理 を説明します。1)支持力につい ては前回話しました。

今回は、2)補強による斜面の 安定を例にして、補強土工法の メカニズムを説明します。

この説明は、1)補強による支持力の向上と3)抗土圧-補強 土擁壁ーの分野にも、そのまま 適用できる一般的なものです。

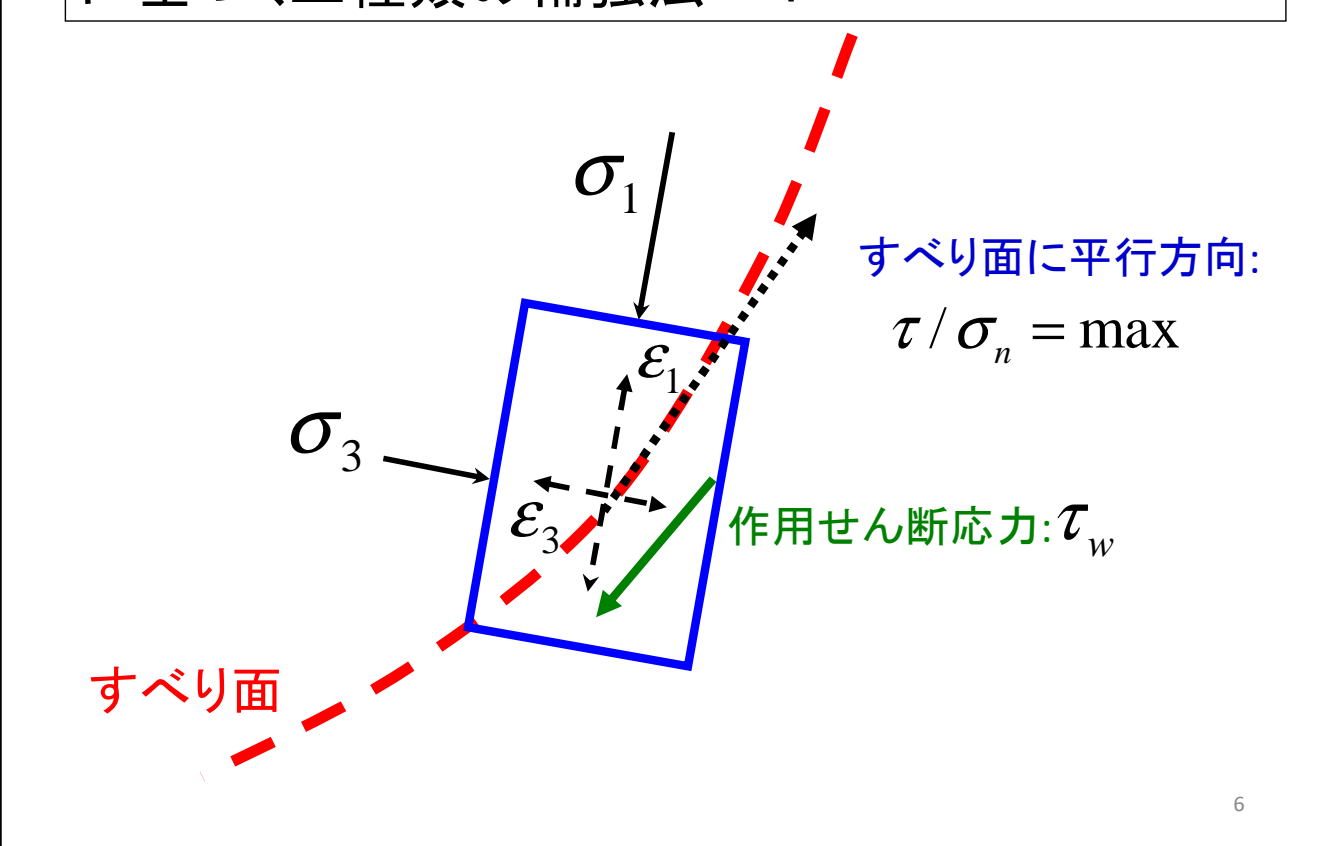


左の図は、補強していない 盛土あるいは切土の斜面が 掘削、豪雨、地震荷重などに よって、すべり面に沿って崩壊 する様子を模式的に示したも のです。

右の図は、そのすべりを補 強材を配置して防ごうとしてい る状態です。この場合、引張り 力によってすべり崩壊を防ごう とする「引張り補強材」の配置 を示しています。

しかし、補強土工法は、「引張り補強法」の他にもあります。 そのことを、要素Aの応力ひず み状態に基づいて説明します。

要素Aの「無補強状態での応力・ひずみ状態」 に基づく三種類の補強法 - 1

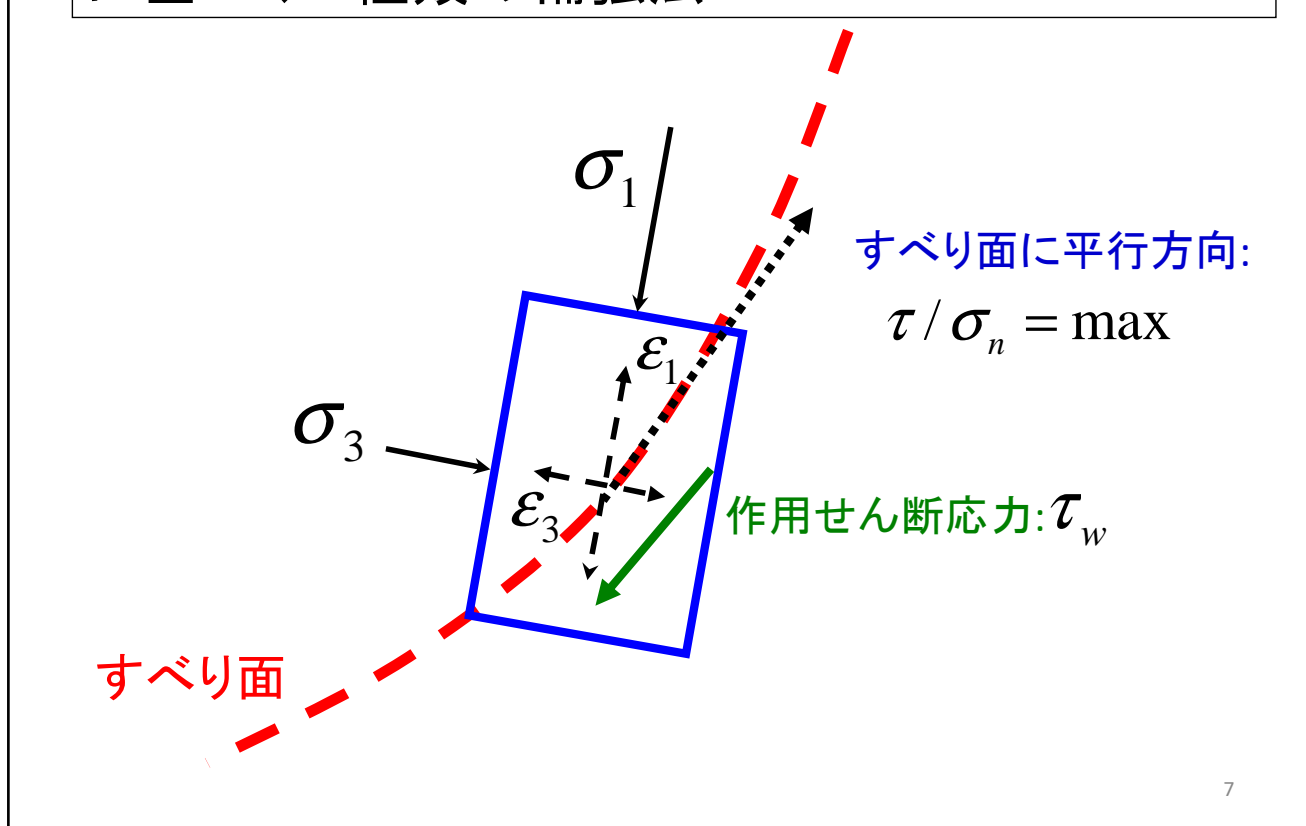


要素Aの「無補強状態での応力・ひずみ状態」を考察し、それに基づき三種類の補強法を説明します。

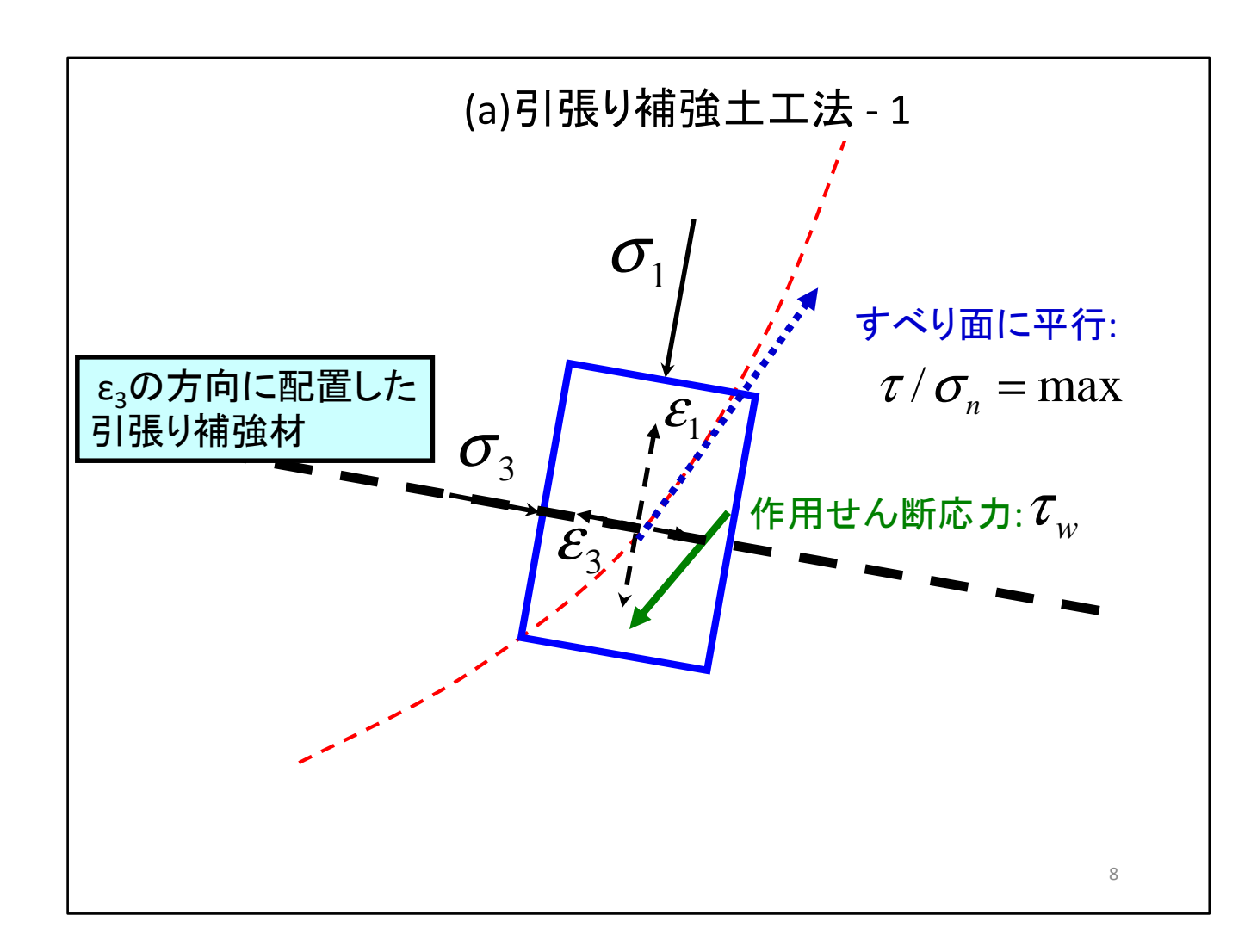
無補強状態での要素Aに生じる最大圧縮ひずみ(すなわち最大主ひずみ)を ε_1 、最大引張りひずみ(すなわち最小主ひずみ)を ε_3 とします。

 ε_1 が生じる方向と ε_3 が生じる方向の中間の方向に生じる 直ひずみ ε_n (圧縮を正)は、 ε_1 と ε_3 の中間の値となります。 ε_1 が生じる方向に近いほど、大きな圧縮ひずみが生じ、 ε_3 が生じる方向に近いほど大きな引張りひずみが生じ、する引張りひずみが生じ、するりも生じなくなります。

要素Aの「無補強状態での応力・ひずみ状態」 に基づく三種類の補強法 - 2



応力状態に関しては、 ε_1 が生じる方向に最大の圧縮応力(すなわち最大主応力) σ_1 が生じ、 ε_3 が生じる方向に最大の引張り応力(すなわち最小主応力) σ_3 が生じます(注: 載荷中に主応力の方向が回転する場合は、上記は厳密には成り立たないが、ここでは無視する。これは大学院レベルのテーマ)。



最大引張りひずみ ε_3 が生じる方向に表面が粗で摩擦力が発揮しやすく、伸びに対して一定の剛性がある補強材を配置して、 ε_3 の発生を抑制しようとする工法が「引張り補強土工法」です。

この工法では、無補強の地盤の中で ε_3 が最も大きく生じる領域に、その ε_3 の方向に引っ張り補強材を配置しなければ、効果がありません。

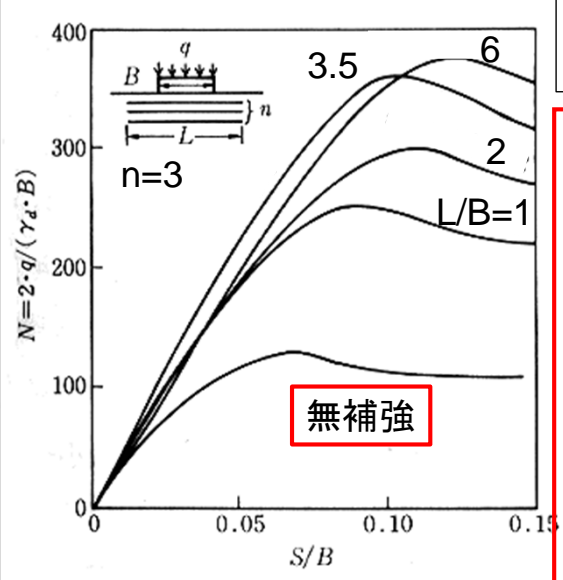
無補強水平地盤: 基礎荷重が最大の時、地盤内のひずみは基礎直下の領域だけに集中

⇒基礎直下の領域内に、ε₃方向(即ち水平方向)に引張り補強材を 配置すると、基礎が深くなったのと同じ効果が発揮されて、支持力

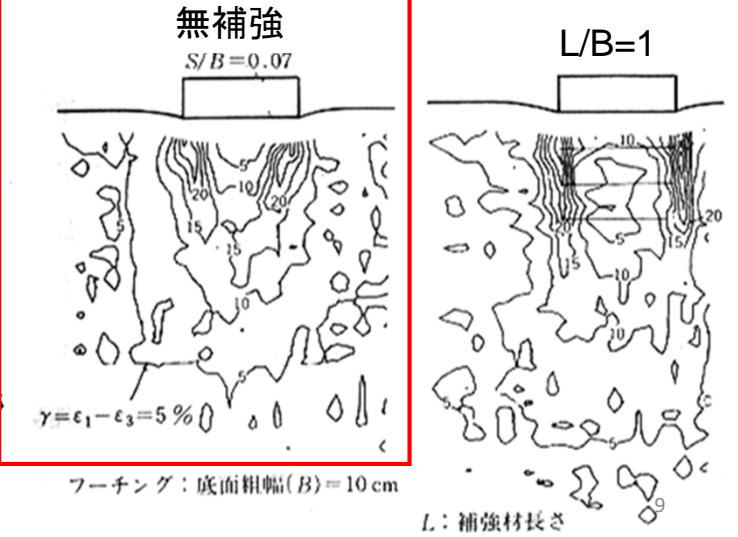
が増加する。

実験は、黄景川氏の

修士論文研究による



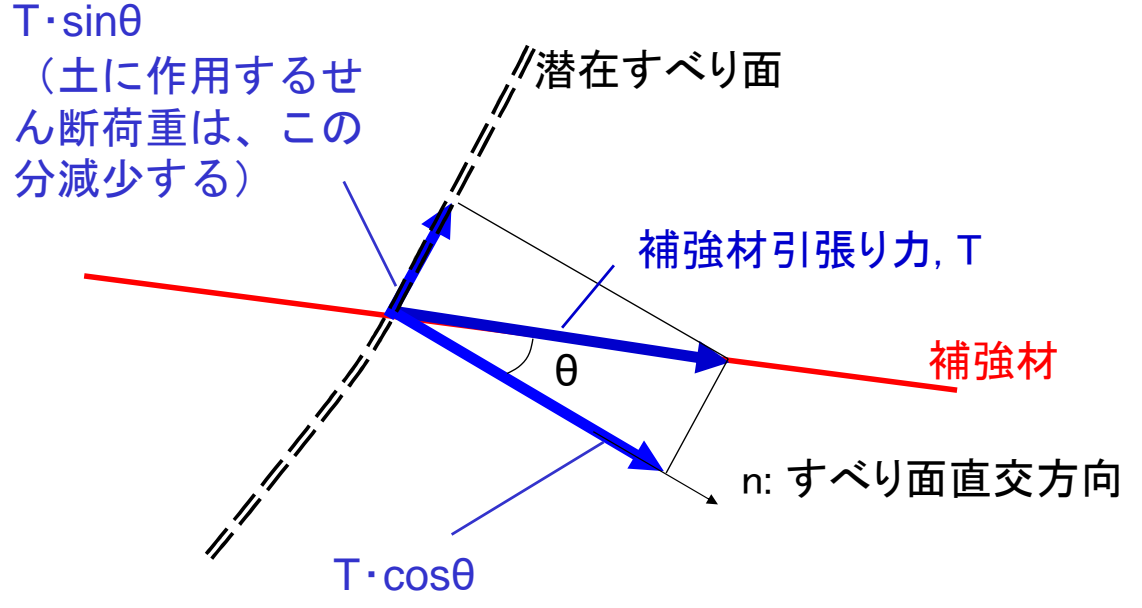
基礎の沈下比S/Bが0.7になるまでに 地盤内に生じた局所的なせん断ひず み $\gamma = \varepsilon_1 - \varepsilon_3$ の分布



これは、前回での地盤の支持力の問題ですが、無補強水平地盤では基礎直下の領域には水平方向に最大引張り ε_3 が発生します。

従って、その領域内に ε_3 の 方向(すなわち水平方向)に引張り補強材を配置すると、その 領域内の ε_3 の発生が抑えられます。その結果、最小主応 カ σ_3 が増加して、鉛直方向の 圧縮応力 σ_1 に抵抗する強度 が増加して、地盤の支持力が 増加します。

(a)引張り補強土工法 - 2



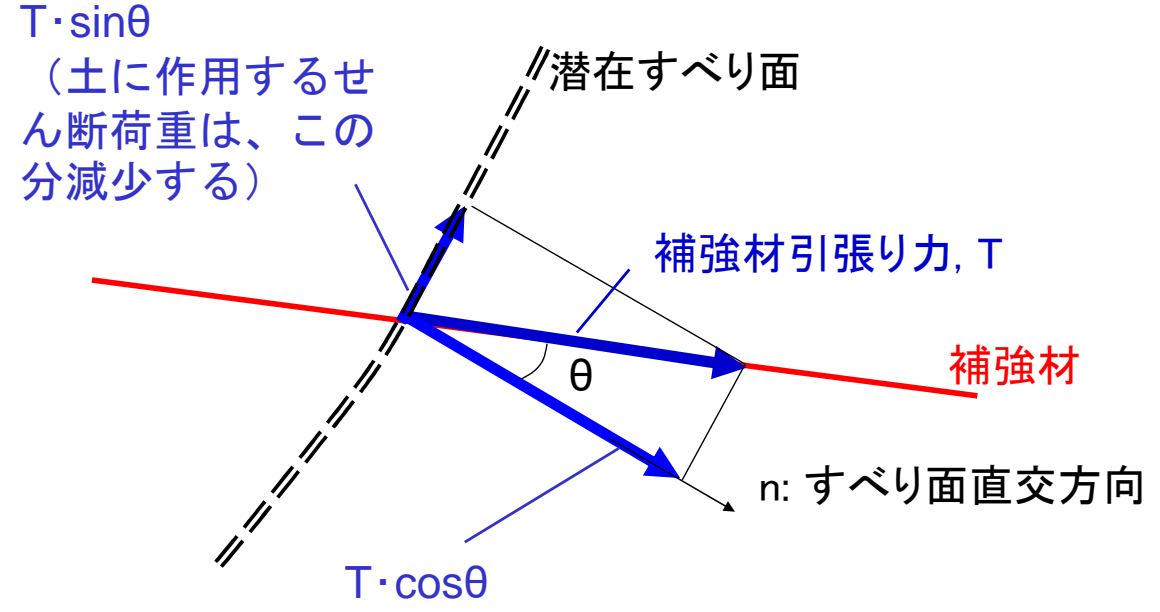
(この反作用として、潜在すべり面の位置で土に作用する直応力は増加して、その結果土のせん断強度は $T\cdot\cos\theta\cdot\tan\phi$ だけ増加する)

ここで、無補強地盤・斜面に生じるすべり面を「潜在すべり面」と表記しています。これは、補強することによって実際にはこのすべり面は生じなくなるからです。

Tは、潜在すべり面との交 点で補強材に発生する引張 り力です。

T·sinθは、Tのすべり面の 方向の成分です。潜在すべ り面に沿って土に作用する せん断荷重は、T·sinθだけ 減少します。すなわち、T· sinθはすべり破壊の防止に 貢献します。

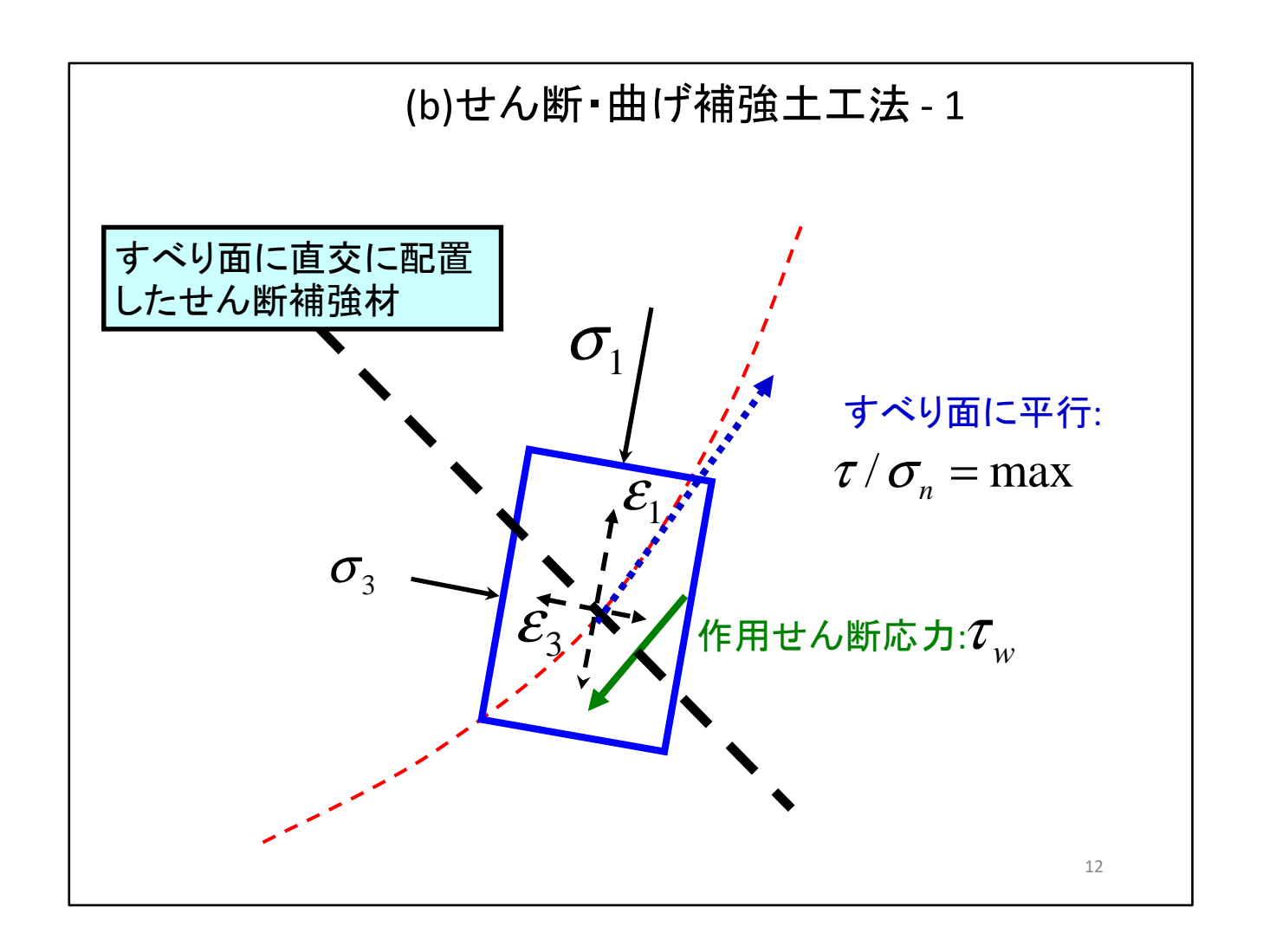
(a)引張り補強土工法 - 3



(この反作用として、潜在すべり面の位置で土に作用する直応力は増加して、その結果土のせん断強度は $T \cdot \cos\theta \cdot \tan\phi$ だけ増加する)

T·cosθは、Tの潜在すべり面に直交する方向の成分で、潜在すべり面を挟んだ土塊同士を締め付ける機能があります。

その結果、潜在すべり面の位置で土に作用する直応力は増加します。その結果、土のせん断強度はT·cosθ・tanφだけ増加します。φは土の内部摩擦角です。

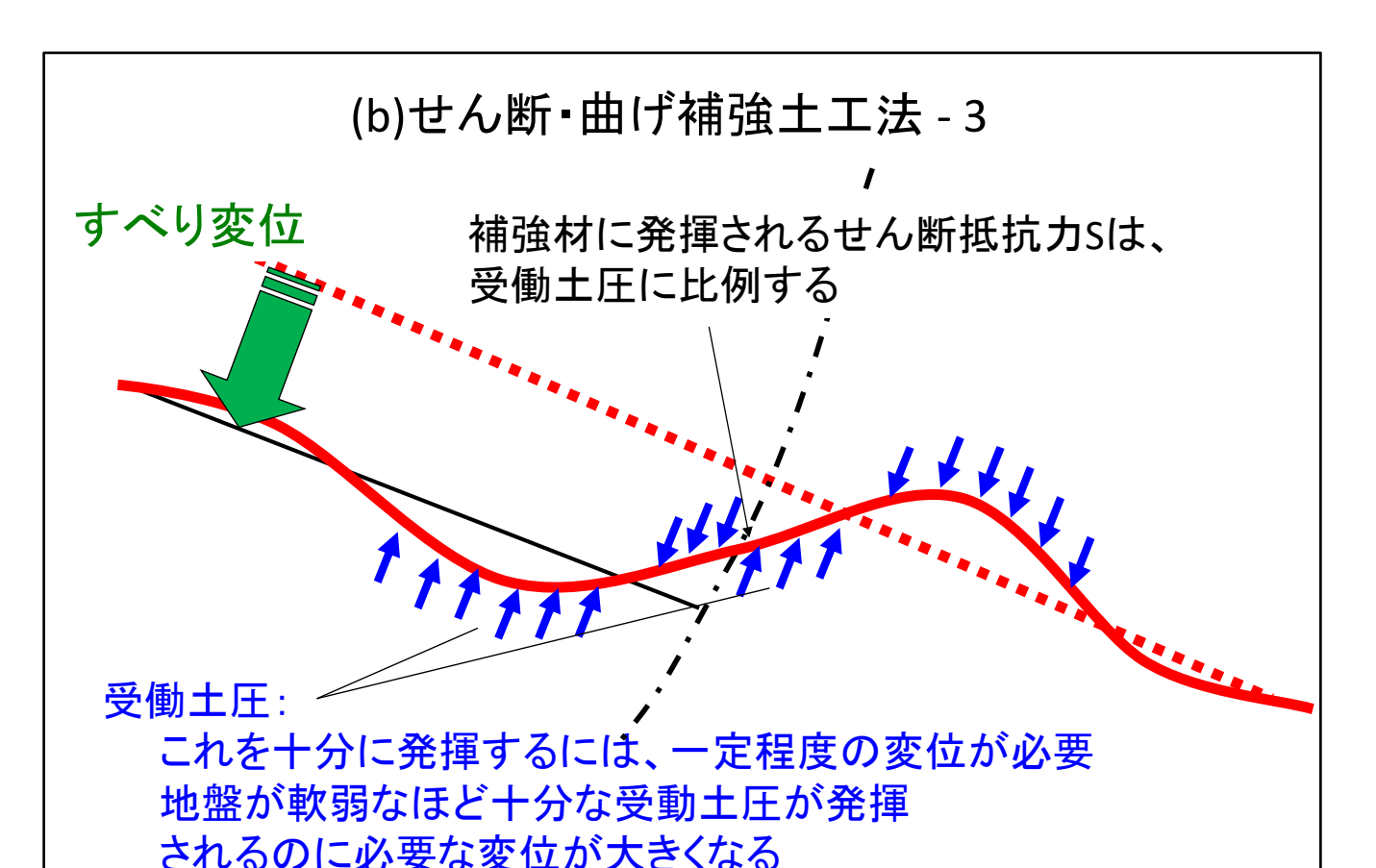


次は、せん断補強・曲げ補強土工法です。

この場合、潜在すべり面に 直交して表面が粗でかなり 曲げ剛性がある補強材を配 置します。

(b)せん断・曲げ補強土工法 - 2 **ℳ潜在すべり面** 補強材せん断力S(作用せん 断応力τωに直接抵抗する) 補強材 n: すべり面直交方向 13

この場合、潜在すべり面の位置で土に作用するせん断応力 τ_w に対して、補強材に発揮されるせん断力Sで直接抵抗しようとします。

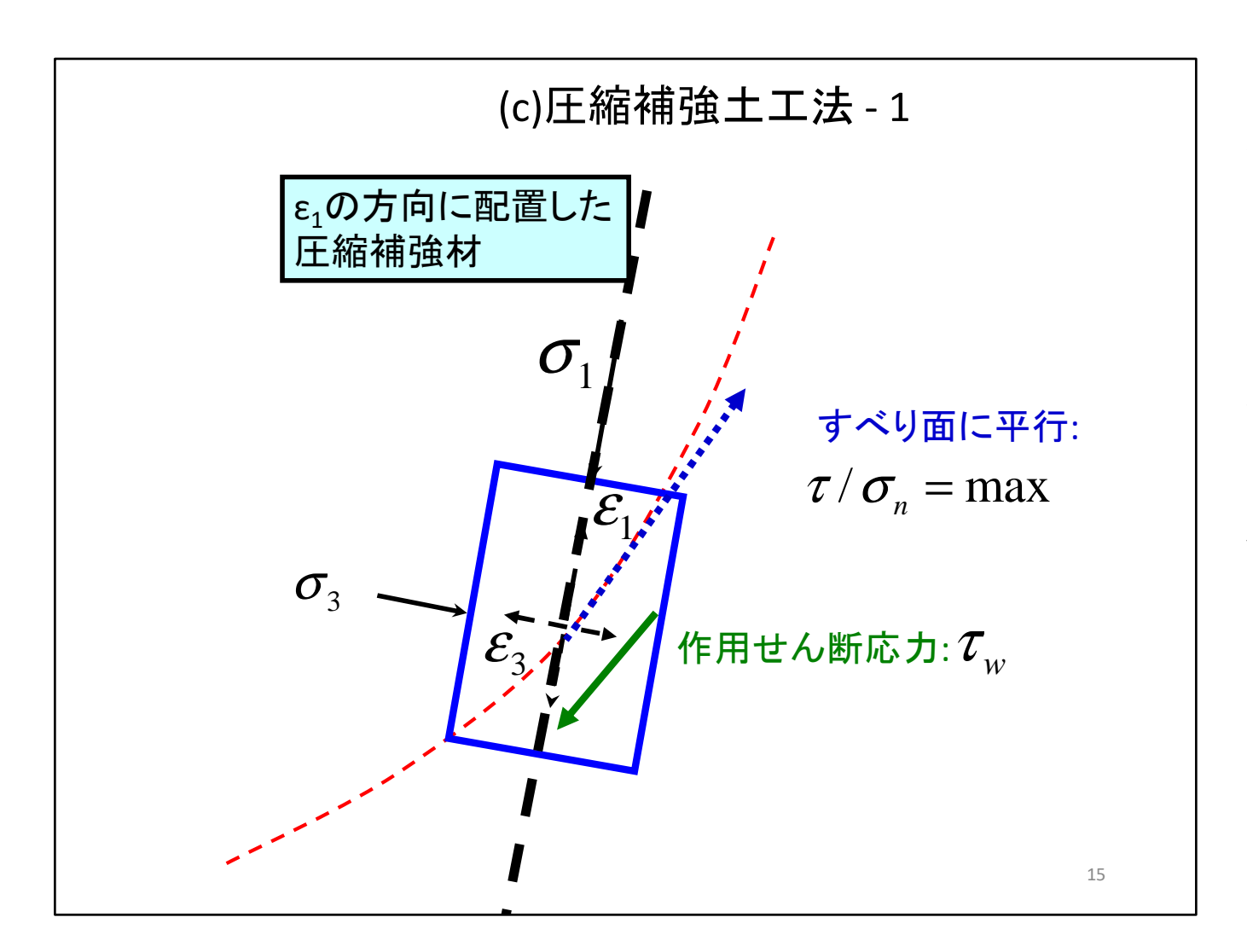


だだし、岩盤では小さい変位で大きな受動土圧が発揮されるので有効

この補強材に発揮されるせん断抵抗Sは、図に示すように補強材に受動的に発揮される土圧に比例して発揮されます。

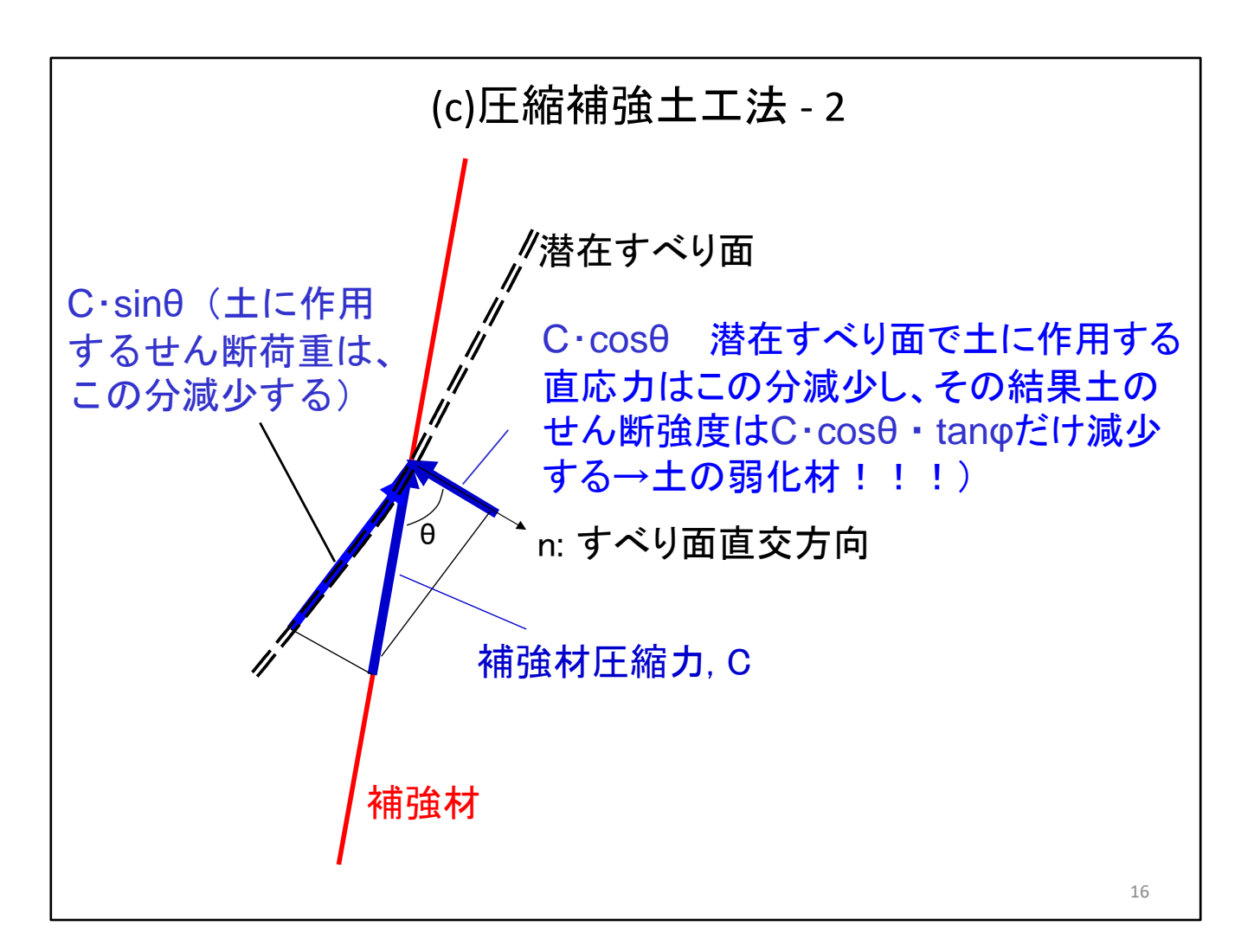
この受働土圧を発揮するには、一定程度の変位が必要です。地盤が軟弱なほど補強効果が有効に発揮されるのに必要なすべり変位が大きくなり、このせん断・曲げ補強の効果はなかなか発揮されません。

一方、岩盤では小さい変位 で大きな受動土圧が発揮され るので、この補強工法は有効 になります。ロックボルト(rock bolt)と言われている工法です。



最大圧縮りひずみ ε_1 が生じる方向に、表面が粗で圧縮力に対して座屈しにくいように一定の剛性がある補強材を配置して、 ε_1 の発生を抑制しようとする工法が「圧縮補強土工法」です。

杭と同じメカニズムです。 従って、この工法はmicro pile 工法と言います。



Cは、潜在すべり面との交点 で補強材に発生する圧縮力で す。

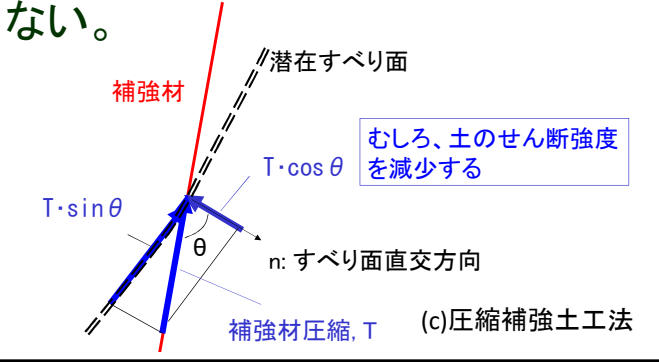
C·sinθは、Tのすべり面の 方向の成分です。潜在すべり 面に沿って土に作用するせん 断荷重は、この分減少して、 せん断破壊に対する安定性は 増加します。角度θは(45度+ 土の内部摩擦角φ/2)ですので、 sinθは大きく、C·sinθは大き くなり、効果的に作用せん断 荷重に抵抗します。

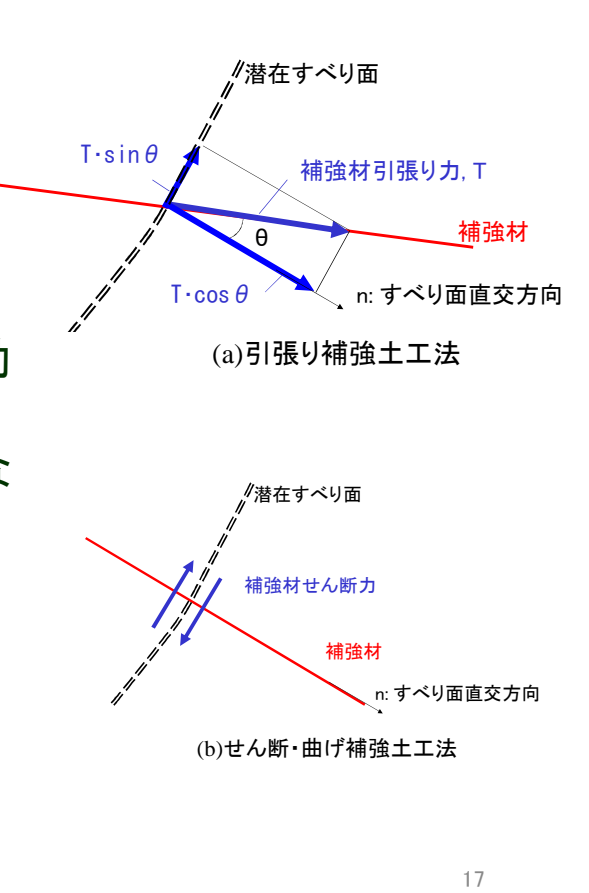
一方、C·cosθは潜在すべり 面で土に作用する直応力の減 少分であり、その結果土のせん 断強度はC·cosθ·tanφだけ減 少し、土の弱化します。何と、こ の点では補強材ではなく弱化 材です!!!)

引張り補強土工法が 最も普及している三つの理由

1)せん断補強と比較すると、相対的に小さい変位で発揮

曲げ補強・せん断補強は、岩盤では有効である。しかし、盛土では剛性が低く、有効な補強効果が発揮されるまでに大きな変位が必要であり、有効な工法とはなら





「引張り補強土工法」、「せん断・曲げ補強土工法」、「圧縮補強土工法」の中で、土の斜面の補強土工法としては、「引張り補強土工法」が最も普及しています。

それには、次の三つの理由があります。

第一の理由は、引張り補強 は、補強材の表面で発揮される摩擦力によって効果が発揮され、摩擦力は相対的に小されることで発揮されることで補強で発揮されるには、補強材表面に発揮される受動土圧が発揮されるには、補強効果が発揮されるには、補強効果が発揮されるには、 対きな変位が必要になります。

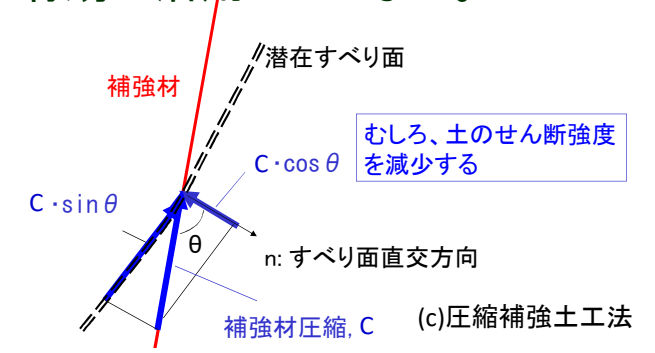
2)土を抵抗増幅装置として活用できる

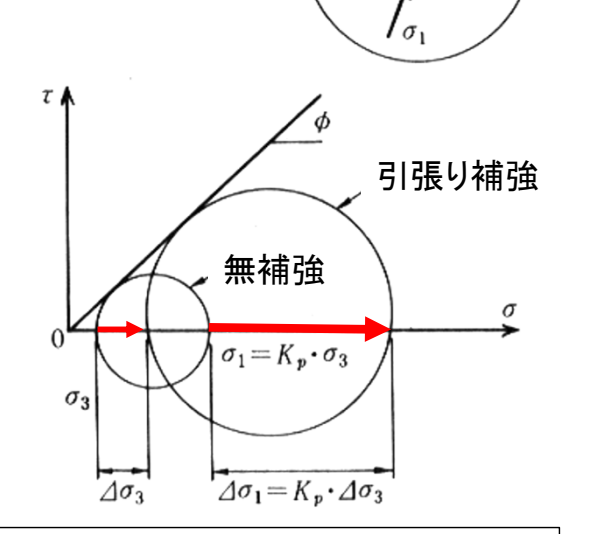
引張り補強による拘束圧の増加分 $\Delta \sigma_3$ によって土の圧縮強度は、

 $\Delta \sigma_1 = \text{Kp} \cdot \Delta \sigma_3$ だけ増幅する。

 $Kp = (1+\sin\phi)/(1-\sin\phi) >> 1.0$ (ϕ は内部摩擦角)

一方、圧縮補強は鉛直荷重に対して 直接的に抵抗するが、土のせん断強 度は減少するため、土の潜在能力を 有効に活用していない。





潜在すべり面

要素Aの応力状態(破壊時)

第二の理由は、引張り補強は、 土を抵抗増幅装置として効果 的に活用できることです。

つまり、引張り補強によって拘束圧が $\Delta \sigma_3$ だけ増加したとします。すると、図に示すように、応力のモール円は拡大して、土の圧縮強度は、

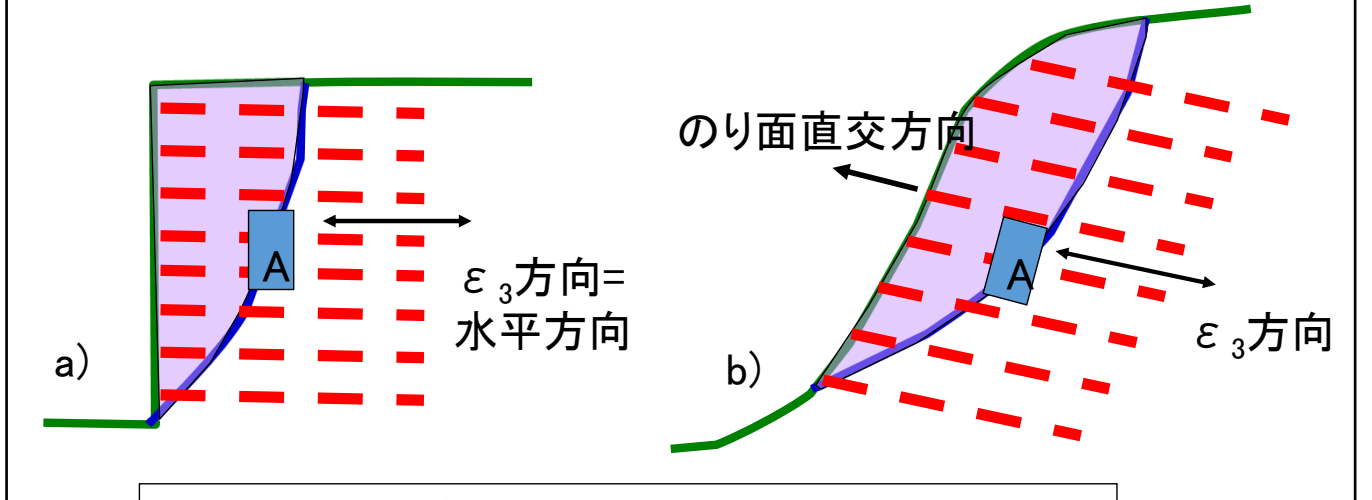
 $\Delta \sigma_1 = \text{Kp} \cdot \Delta \sigma_3$ だけ増幅します。ここでKpは受動土圧係数であり、

 $Kp = (1+\sin\phi)/(1-\sin\phi)$ です(ϕ は内部摩擦角)。土の抵抗力はKp倍拡大しますが、Kpの値は 1.0 よりもかなり大きい。

一方、圧縮補強は鉛直荷重に対して直接的に抵抗するが、 土のせん断強度は減少するため、土の潜在能力を有効に活 用していないことになります。

3) 盛土や斜面の内部で、 ϵ_3 の方向に引張り補強材を配置しやすい。

擁壁の裏込め盛土では水平な方向が、盛土斜面ではのり面に直角な方向がほぼ ε_3 の方向であり、その方向に補強材を配置しやすい。



引張り補強材が最も有効に機能する配置方向は、 一番施工しやすい方向 第3番目の理由は、盛土や地山内に、 ε_3 の方向に引張り補強材を配置しやすいことです。

擁壁の裏込め盛土では、水平な方向が ε_3 の方向であり、その方向(水平方向)に補強材を配置して締固めによって盛土を建設をするのは容易である。

斜面ではのり面に直角な方向がほぼ ε_3 の方向であり、のり面に直角方向に削孔して、その内部に補強材を配置するのが最も施工性が良い。

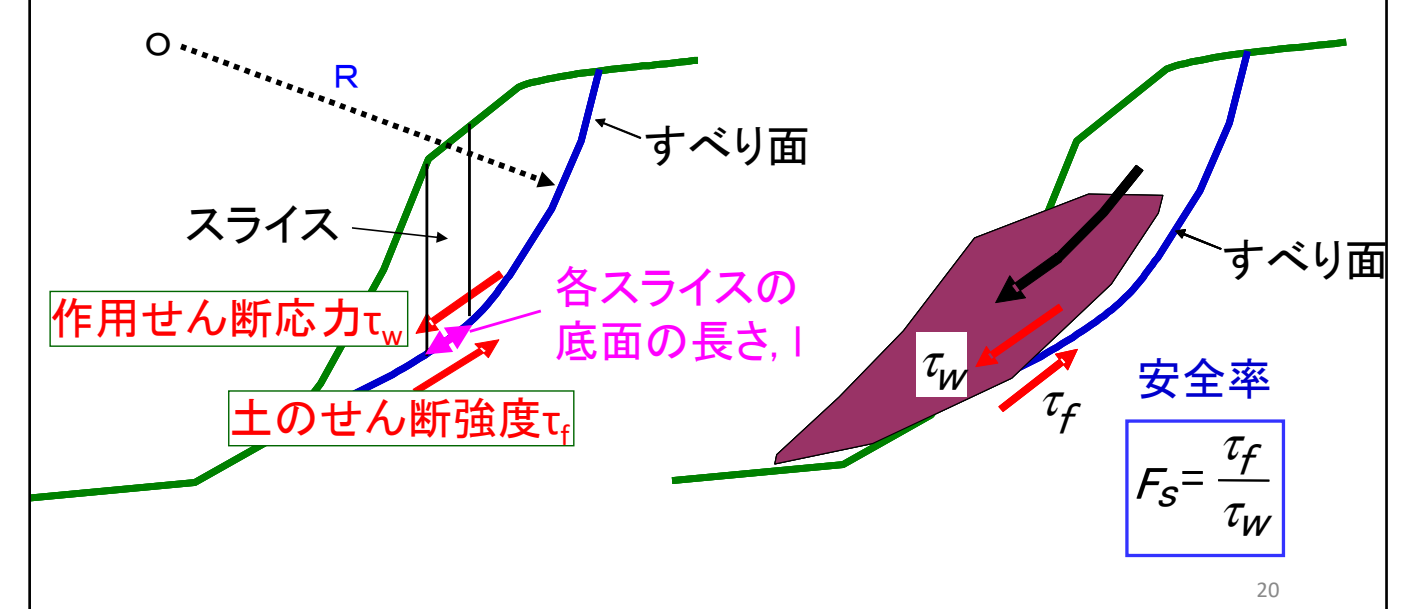
つまり、引張り補強材が最も 有効に機能する配置方向は、 一番補強材を配置しやすい方 向と言うわけです。

無補強斜面の円弧すべり安定計算 - 1

全体すべり安定に対する構造安全率:

$$F_{s} = Min. \left[\frac{R \cdot \sum (\tau_{f} (= \sigma_{n} \cdot \tan \phi) \cdot l)}{R \cdot \sum (\tau_{w} \cdot l)} \right]$$

(c= 0で地下水位が低い 場合を仮定)



次に、無補強斜面の安定性を 解析する方法を説明し、それに 基づいて補強斜面の安定性を 解析する方法を説明します。

まず、無補強斜面の円弧すべりに対する安定計算は、この式によって行います。

この式は、土の粘着力係数 c=0と単純化した場合の式です。 この式の[]内は、分子が「す べり面に沿った土の抵抗モーメ ント」であり、分母が「滑動モー メン」です。

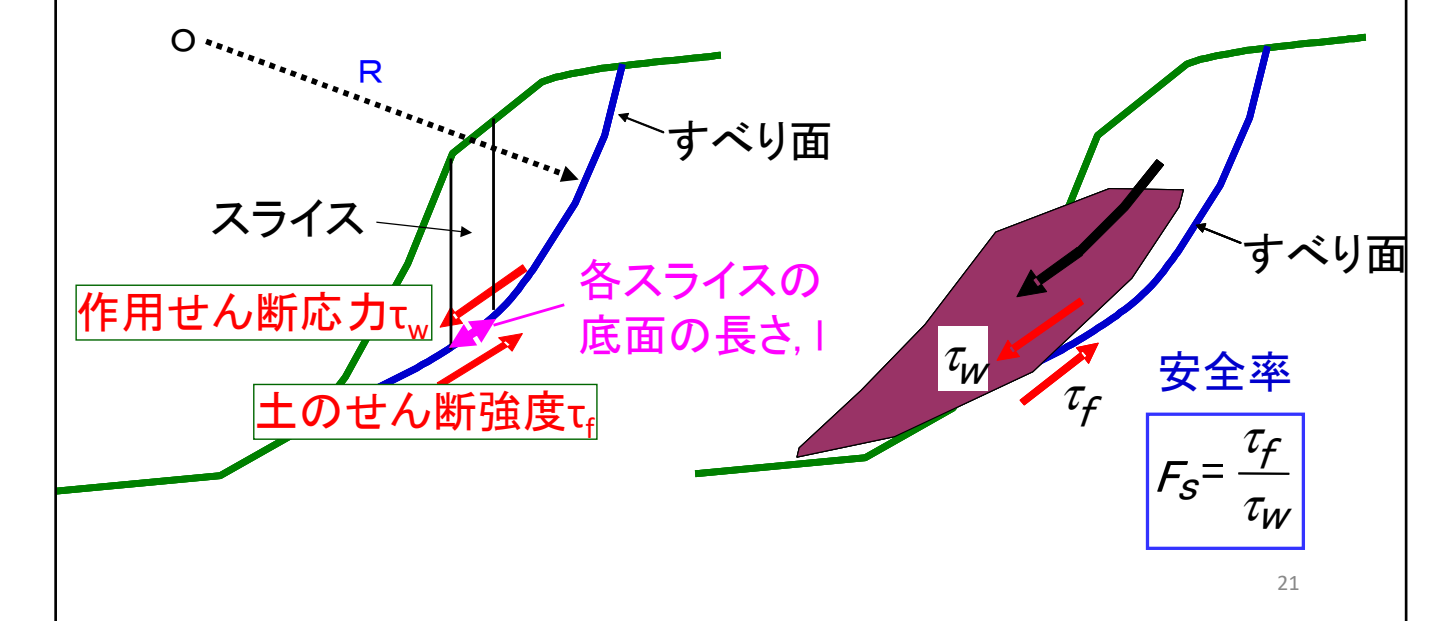
この式のMin.は極小値と言う意味であって、すべり円弧の半径Rと中心位置を無数に変化させて、この比が最小になる臨界すべり面を探し出して、その最小値の比を安全率F。と定義します。

無補強斜面の円弧すべり安定計算 - 2

全体すべり安定に対する構造安全率:

$$F_{s} = Min. \left\lceil \frac{R \cdot \sum (\tau_{f} (= \sigma_{n} \cdot \tan \phi) \cdot l)}{R \cdot \sum (\tau_{w} \cdot l)} \right\rceil$$

(c= 0で地下水位が低い 場合を仮定)



安全率F_sが1.0を超えていればその斜面は安定を保ち、1.0以下になると崩壊する危険があります。

このすべり土塊全体の安全率は、すべり面の個々の位置での局所的安全率=「土のせん断強度 $\tau_{\rm f}$ 」/「土に作用する応力 $\tau_{\rm w}$ 」の比と同じです。

引張り補強された斜面の円弧すべり安定計算 - 1

 $T \cdot \cos \theta$: 拘束圧 σ_n を増加してせん断強度 τ_f を増加(締付け効果)

 $T \cdot \cos \theta$

 $T \cdot \sin \theta$: 作用せん断応力 τ_{w} を減少(吊り上げ効果)



安全率

$$F_s = \frac{\tau_f (= \sigma_n \cdot \tan \phi)}{\tau_w}$$

の向上



補強による

- すべりの防止
- •変形を拘束

次に、補強斜面の安定性を解析する方法を説明します。

それぞれの補強材に、試行 すべり面の位置で作用する引 張り力をTとすると、

- T·sinθは、すべり面位置で 土に作用せん断応力 τ_wを減 少させます。これを「吊り上げ 効果」と呼んでいます。
- T·cosθは、すべり面位置で 土にすべり面直交方向に作 用する拘束圧 σを増加して せん断強度 τ_fを増加します。 これを「締付け効果」と呼んで います。

いずれも安全率=「土のせん断強度 τ_f 」/「土に作用する応力 τ_w 」を増加させて、

- ・すべりの防止
- ・変形を拘束に貢献します。

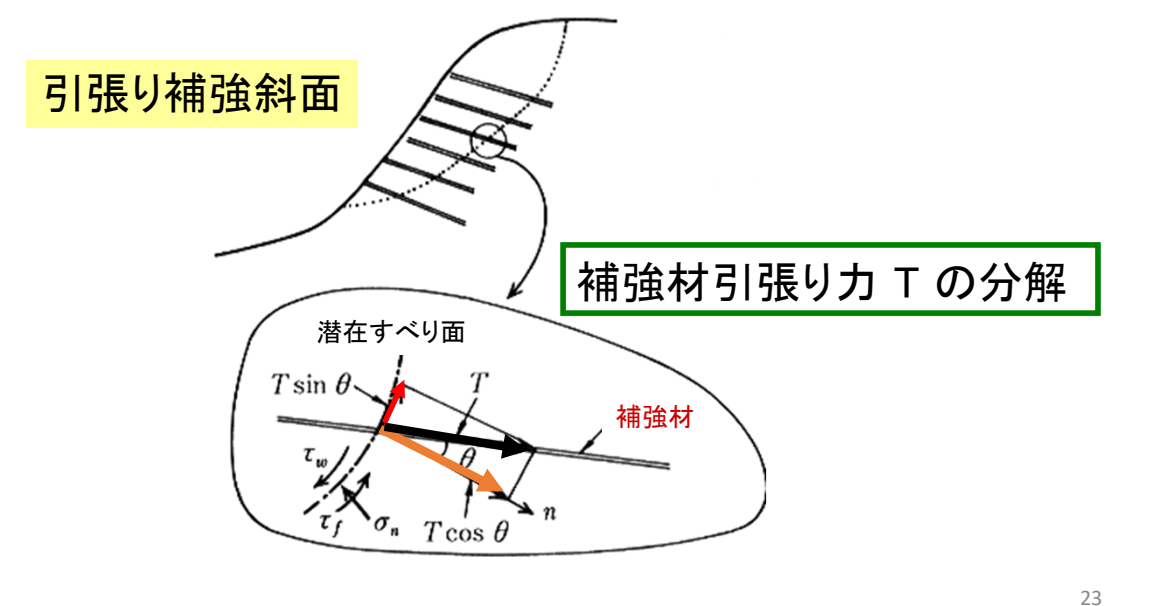
22

 $T \cdot \sin \theta$

引張り補強された斜面の円弧すべり安定計算 - 2

すべり土塊全体の円弧すべり安定に対する安全率:

$$F_{s} = Min. \left[\frac{\sum (\sigma_{n} \cdot \tan \phi \cdot l + T \cdot \cos \theta \cdot \tan \phi)}{\sum (\tau_{w} \cdot l - T \cdot \sin \theta)} \right]$$



前頁の考察に基づくと、引張り補強された斜面の円弧 すべり安定計算の式は、この ようになります。引張り力Tに よって、分子の抵抗モーメント は大きくなり、分母の滑動 モーメントは小さくなりますか ら、安全率F。は増加します。

引張り補強された斜面の全体安定計算 - 3

(F_s)_{req}: 全体すべり安定を保つのに必要な構造安全率:

$$F_{s} = Min. \left[\frac{\sum (\sigma_{n} \cdot \tan \phi \cdot l + T \cdot \cos \theta \cdot \tan \phi)}{\sum (\tau_{w} \cdot l - T \cdot \sin \theta)} \right] \ge (F_{s})_{req}$$
 (1)

T: 補強材引張り抵抗

実務で用いられている「円弧すべり安全率」:

$$F_{s} = Min. \left[\frac{\sum (\sigma_{n} \cdot \tan \phi \cdot l + T \cdot (\cos \theta \cdot \tan \phi + \sin \theta))}{\sum (\tau_{w} \cdot l)} \right] \ge (F_{s})_{req}$$
 (2)

- ●式(1)の方が、すべり安全率の元々の定義に忠実。
- ●安全率=1.0の時は、式(1),(2)は同じ意味。
- ●Tが大きくなると、式(2)による安全率は、式(1)による安全率よりも小さくなる。→式(2)の方が、Tが過大評価されて安全率が無暗に大きくなることを避けることができて、安全側。 24

設計では、式(1)で計算された安全率 F_s が「所定の要求される最低安全率(1.0を超えた1.5などの値)」以上であることを確認します。

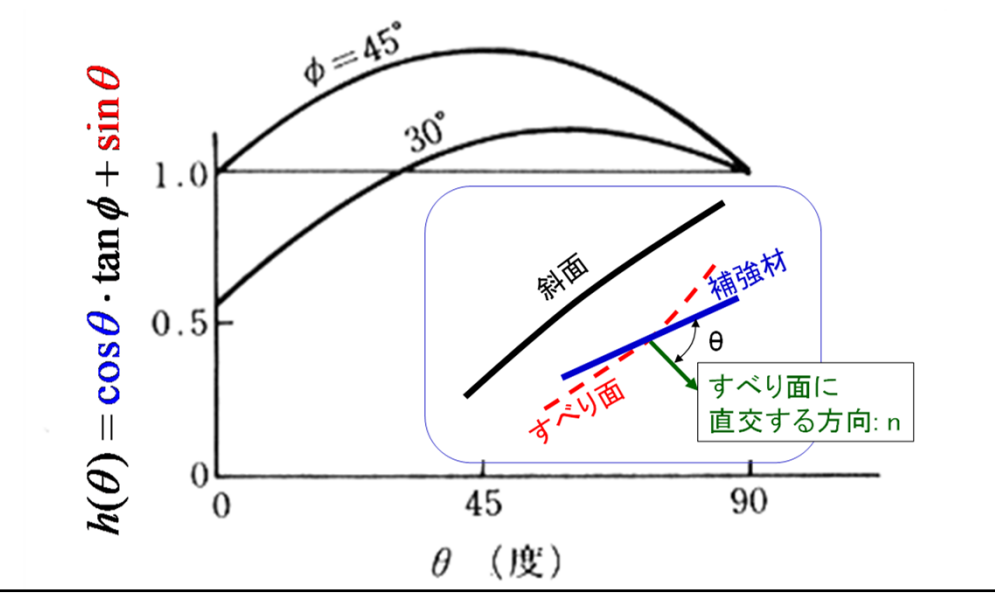
なお、実務の設計では、式 (2)によって「円弧すべり安全 率」を求めている。

式(1)の方が、すべり安全率 の元々の定義に忠実ですが、 以下の理由によって式(2)が用 いられています。

- 安全率=1.0の時は、式(1),
- (2) は同じ意味を持つ。
- 補強材引張り力Tが大きくなるほど、式(2)による安全率は、式(1)による安全率よりも小さくなる。従って、Tを過大評価した場合、式(2)の方が、安全率が無暗に大きくならないで、安全側となる。

$$F_{s} = Min. \left[\frac{\sum (\sigma_{n} \cdot \tan \phi \cdot l + T \cdot \cos \theta \cdot \tan \phi)}{\sum (\tau_{w} \cdot l - T \cdot \sin \theta)} \right]$$
 (1)

- 口補強効果の総計: $T \cdot \cos \theta \cdot \tan \phi + T \cdot \sin \theta = T \cdot h(\theta)$ (3)
- ロー定のTに対する補強効果: $h(\theta) = \cos \theta \cdot \tan \phi + \sin \theta$ (4)



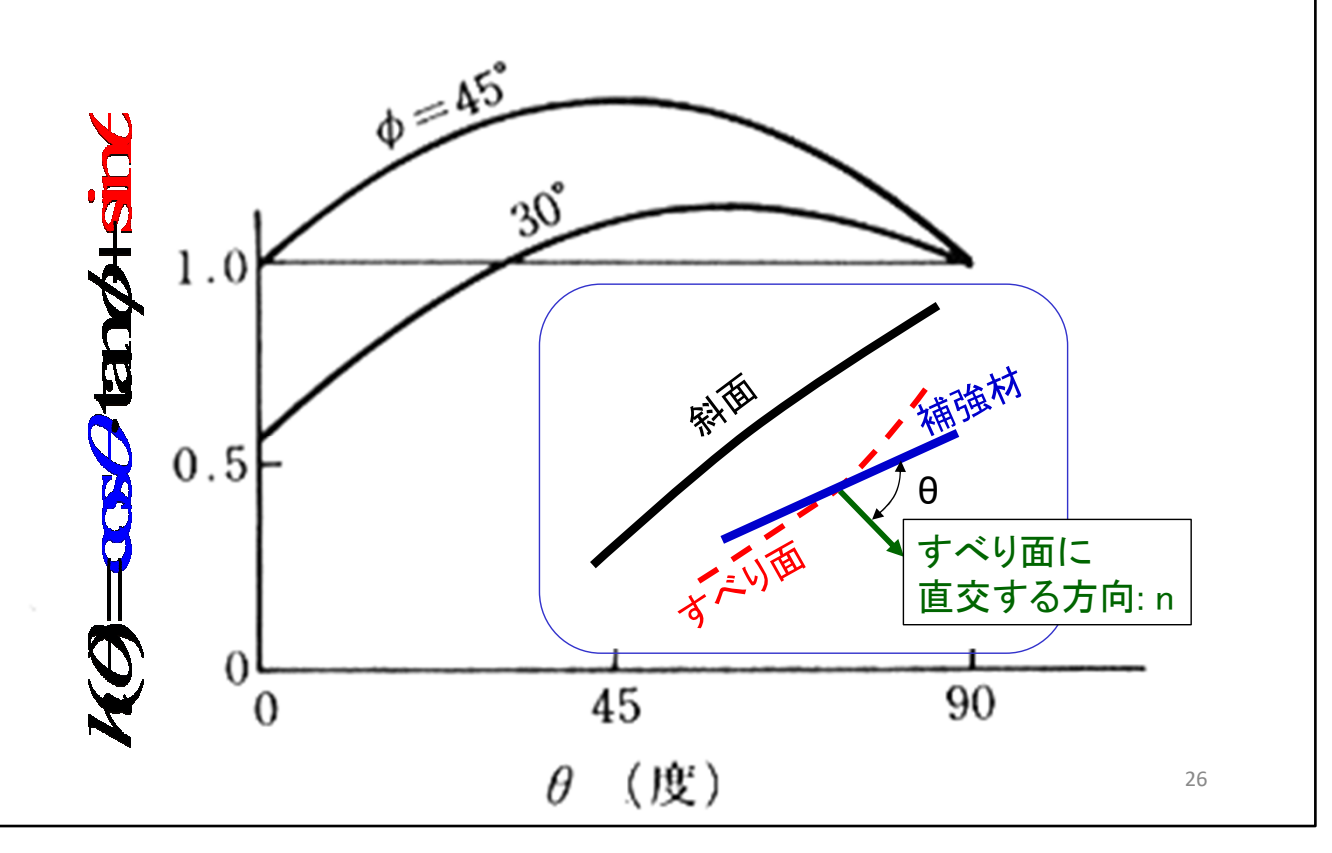
式(1)において、補強効果の 総計は、式(3)で表されます。こ れは式(2)においても同様です。

今、補強材の方向がすべり 面の直交方向nからなす角度 θ に関わらず補強材引張りT の値が一定である、と仮定し ます。

この場合と、補強材の角度 θ が引張り補強効果に与える 影響は式(4)の関数 $h(\theta)$ で表現される。

この図は、 ϕ = 30度と45度で c=0の場合での関数h(θ)と角度 θ の関係です。

この図では、補強材の方向 θ が変化しても、 $h(\theta)$ の変化は小さくて補強効果の変化は小さい。 \rightarrow 本当か?



この図では、補強材の方向 θ が変化しても、 $h(\theta)$ の変化 は小さくて補強効果の変化は 小さい。つまり、補強材の設置 方向は適当で良い、ということ になります。

これは、本当でしょうか?

前頁の推察は、正しくない。つまり、

- 口補強効果の総計: $T \cdot \cos \theta \cdot \tan \phi + T \cdot \sin \theta = T \cdot h(\theta)$
- $\Box h(\theta) = \cos \theta \cdot \tan \phi + \sin \theta$ は、θによって大きく変化しないが、

補強材引張りカアは、設置角度θによって大きく変化する

- $\Rightarrow T$ は、「補強材の位置での無補強の場合での補強材の方向の直ひずみ ϵ_n 」に比例して、 ϵ_n は θ によって大きく変化する。
- ⇒ T は、式(5)での関数 $f(\theta)$ に比例し、 $f(\theta)$ は θ によって大きく変化する。 $c(\theta) = 2 \cos^2(\theta n)$ (1 $\sin y$)

 $f(\theta) = \frac{\mathcal{E}_n(\theta)}{\mathcal{E}_3} = \frac{2 \cdot \cos^2(\theta - \eta) - (1 - \sin \nu)}{1 + \sin \nu}$

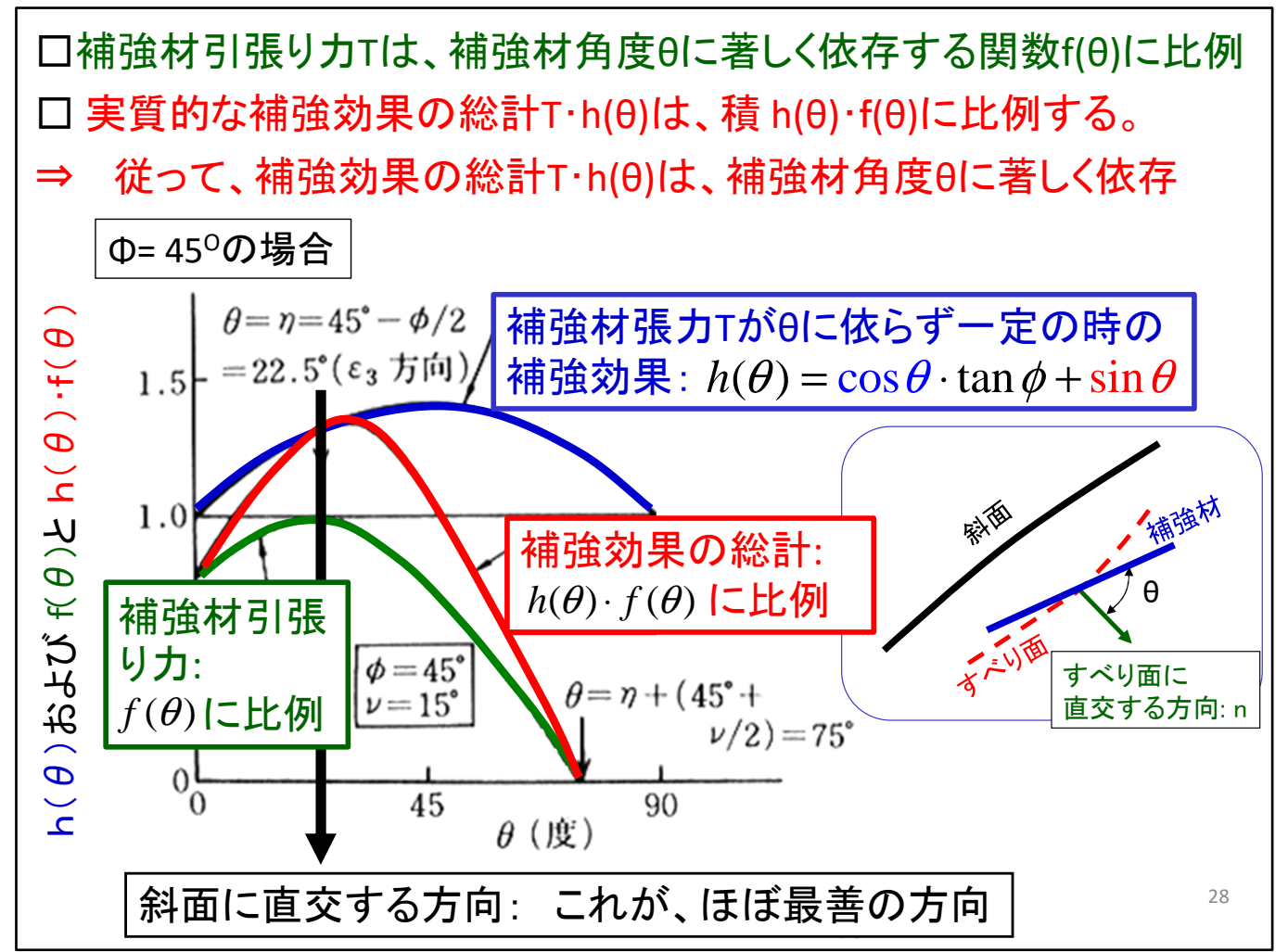
vは破壊時のダイレタンシー角、 $\eta = 45^{\circ} - \phi/2$

この式の導入は、後で説明。

実際は、補強材の方向の角度 θ が「式(3)による補強効果の総計 $T \cdot h(\theta)$ 」に与える影響は、非常に大きい。

つまり、

- T は補強材の位置での無補強の場合でのひずみ状態における補強材の方向の直ひずみ ε nの大きさに比例します。
- ε nは角度 θ の強い関数であり、式(5)での関数f(θ)に比例する(式(5)の導入は後で説明する)。
- 3. 従って、Tは補強材方向 θ の強い関数となる。
- 4. 従って、補強材の設置方向は非常に重要になります。



この図は、 ϕ = 45度でc=0の場合での、

- ・補強材引張り力Tが一定の場合 での補強効果を表す関数 $h(\theta)$ 、
- •Tの θ 依存性を表す関数 $f(\theta)$ 、および
- ・補強効果の総計を表す両者の 積 $h(\theta)$ · $f(\theta)$

と角度 θ の関係です。

Tの θ 依存性を表す関数 $f(\theta)$ は、角度 θ が「直ひずみ ϵ 」が最大引張り ϵ 」に等しくなる角度」になった時に最大値1.0となります。この角度は、斜面に直交する方法に近い。

従って、補強効果の総計を表す $h(\theta)$ · $f(\theta)$ は、角度 θ に強く依存します。引張り補強は、 $h(\theta)$ · $f(\theta)$ が最大になる方向に設置すると最も効果的になります。

次に、Tの θ 依存性を表す関数 $f(\theta)(式(5))$ の導入法を説明します。

 $\Rightarrow T$ は、式(5)での関数 $f(\theta)$ に比例し、 $f(\theta)$ は θ によって大きく変化する。

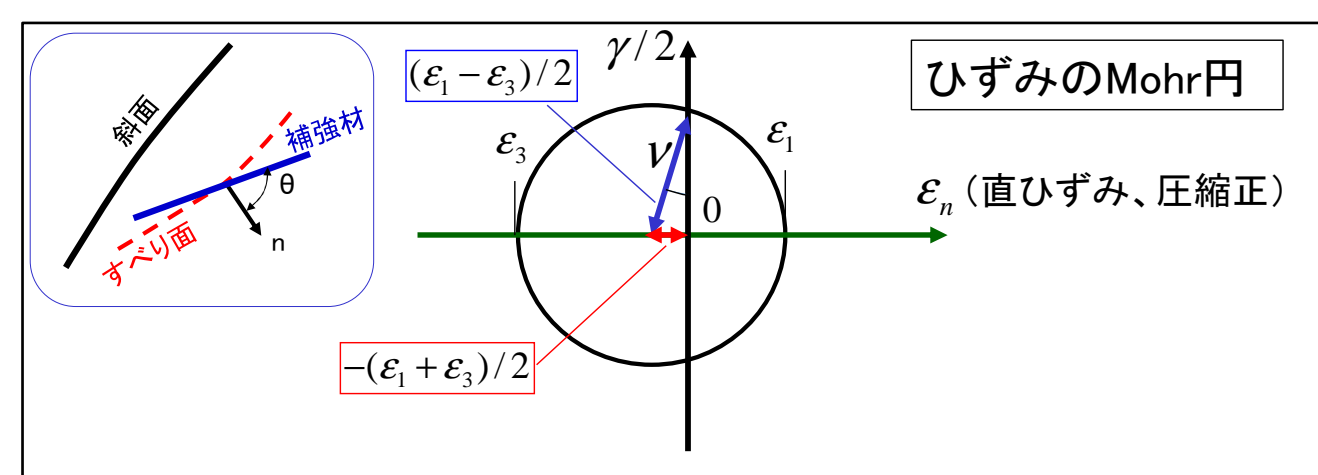
$$f(\theta) = \frac{\mathcal{E}_n(\theta)}{\mathcal{E}_3} = \frac{2 \cdot \cos^2(\theta - \eta) - (1 - \sin \nu)}{1 + \sin \nu}$$
 (5)

vは破壊時のダイレタンシー角、

$$\eta = 45^{\circ} - \phi/2$$

次頁以降は、式(5)の導入の説明

次頁以降で、式(5)の導入を 説明します。



 $\varepsilon_1 - \varepsilon_3$: 最大せん断ひずみ

 $\varepsilon_1 + \varepsilon_3$:体積ひずみ(圧縮:正)

この図では、体積ひずみは負、従って膨張している状態を表している

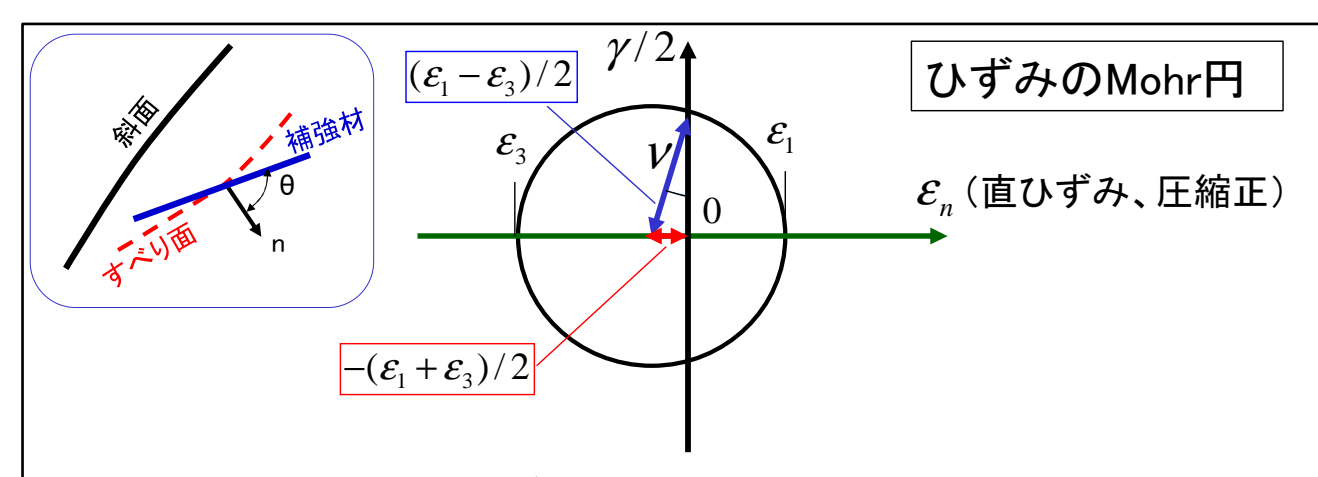
$$\sin \nu = -\frac{(\varepsilon_1 + \varepsilon_3)/2}{(\varepsilon_1 - \varepsilon_3)/2} \to \varepsilon_1 = -\varepsilon_3 \cdot \frac{1 - \sin \nu}{1 + \sin \nu}$$
 (6)

 ν : ピーク応力状態でのダイレイタンシー角)

Tの θ 依存性を表す関数 $f(\theta)(式(5))$ の導入法を理解するには、ひずみのモール円を 理解する必要があります。

これは皆様知っているはず の応力のモール円に平行的な 知識です。その説明は添付 PDFで説明してありますが、こ れは大学院レベルの知識です。

導入法は分からなくても、そ の意味は理解できるので、そ れを説明します。



 $\varepsilon_1 - \varepsilon_3$: 最大せん断ひずみ

 $\varepsilon_1 + \varepsilon_3$: 体積ひずみ(圧縮: 正)

この図では、体積ひずみは負、従って膨張している状態を表 している

$$\sin \nu = -\frac{(\varepsilon_1 + \varepsilon_3)/2}{(\varepsilon_1 - \varepsilon_3)/2} \to \varepsilon_1 = -\varepsilon_3 \cdot \frac{1 - \sin \nu}{1 + \sin \nu} \tag{6}$$

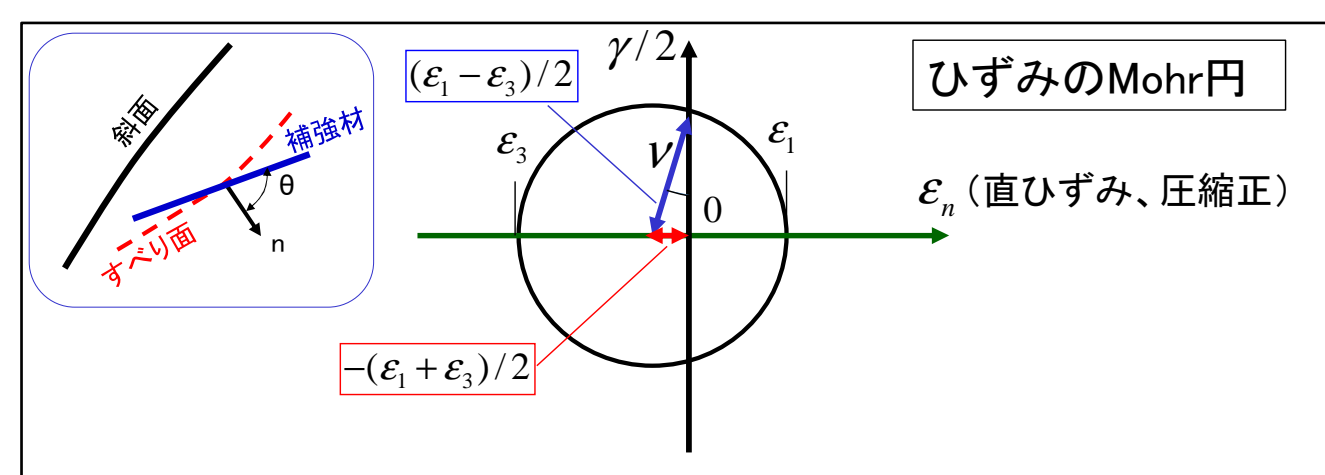
 ν : ピーク応力状態でのダイレイタンシー角)

今、最大圧縮ひずみ(最大主 ひずみ) ε ₁と最大引張りひずみ (最小主ひずみ) ε ₃が既知とし ます。平面ひずみ状態を想定し て、 ε ₁と ε ₃が生じている面に直 交する方向の直ひずみ ε _n はゼ 口とします。

水平軸を直ひずみ ε_n 軸として、 $\varepsilon_n = \varepsilon_1$ の点と $\varepsilon_n = \varepsilon_3$ の点をプロットして、両点を直径の両端とする円を描きます。これが、ひずみのモール円です。

この円の直径= ε_1 - ε_3 が最大せん断ひずみを表します。

この円の中心の ε_n の座標値は($\varepsilon_1+\varepsilon_3$)/2で、体積ひずみ(圧縮: 正)の1/2です。この図では、体積ひずみは負であり、せん断変形によって膨張している状態を表しています。従って、円中心と原点との間の距離(正値)は、 $-(\varepsilon_1+\varepsilon_3)$ /2となります。



 $\varepsilon_1 - \varepsilon_3$: 最大せん断ひずみ

 $\varepsilon_1 + \varepsilon_3$:体積ひずみ(圧縮:正)

この図では、体積ひずみは負、従って膨張している状態を表している

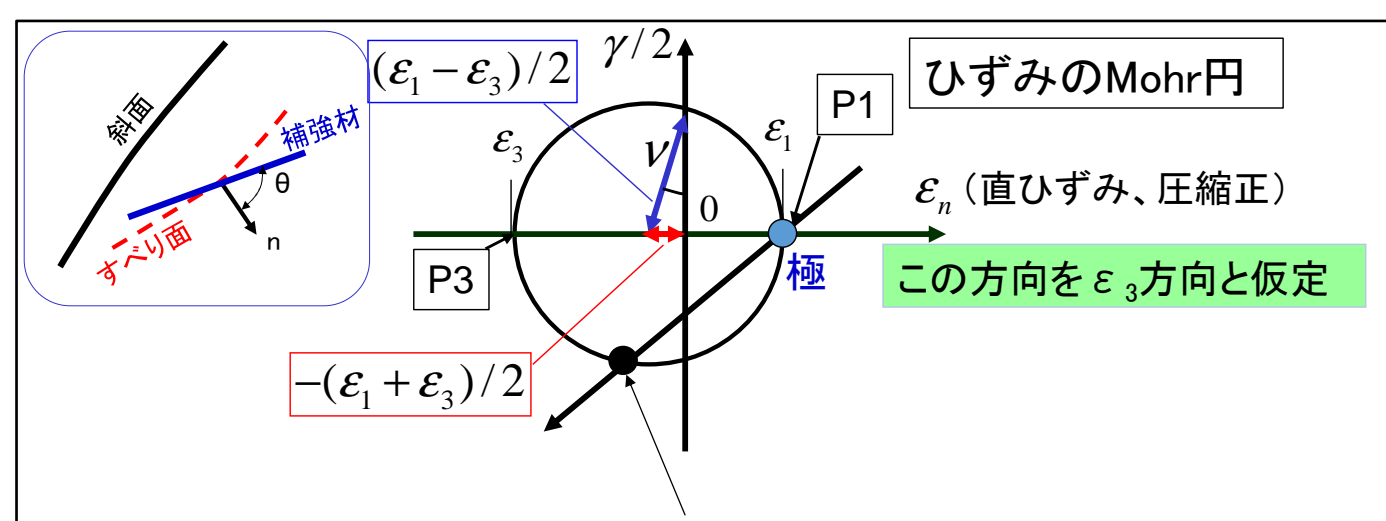
$$\sin \nu = -\frac{(\varepsilon_1 + \varepsilon_3)/2}{(\varepsilon_1 - \varepsilon_3)/2} \to \varepsilon_1 = -\varepsilon_3 \cdot \frac{1 - \sin \nu}{1 + \sin \nu}$$
 (6)

 ν : ピーク応力状態でのダイレイタンシー角)

この図での縦軸は、せん断ひずみx1/2を表しています。主ひずみである ε_1 と ε_3 が生じている方向の面に生じるせん断ひずみ $\gamma=0$ です。

この図に示す角度 ν をダイレイタンシー(dilatancy)角と言います。Dilateは膨張する、と言う意味です。

その理由は、式(6)に示すように、 $\sin \nu$ は、最大せん断ひずみ ε_1 $-\varepsilon_3$ によって生じる体積膨張 $-(\varepsilon_1 + \varepsilon_3)$ の比を表しているからです。式(6)は、ひずみのモール円の幾何学から求まります。



この交点の座標が、「この方向に生じる直ひずみ ϵ_n 」と「この方向の面に生じるせん断ひずみ/ $2=\gamma/2$ 」を表す

$$\sin \nu = -\frac{(\varepsilon_1 + \varepsilon_3)/2}{(\varepsilon_1 - \varepsilon_3)/2} \to \varepsilon_1 = -\varepsilon_3 \cdot \frac{1 - \sin \nu}{1 + \sin \nu}$$
 (6)

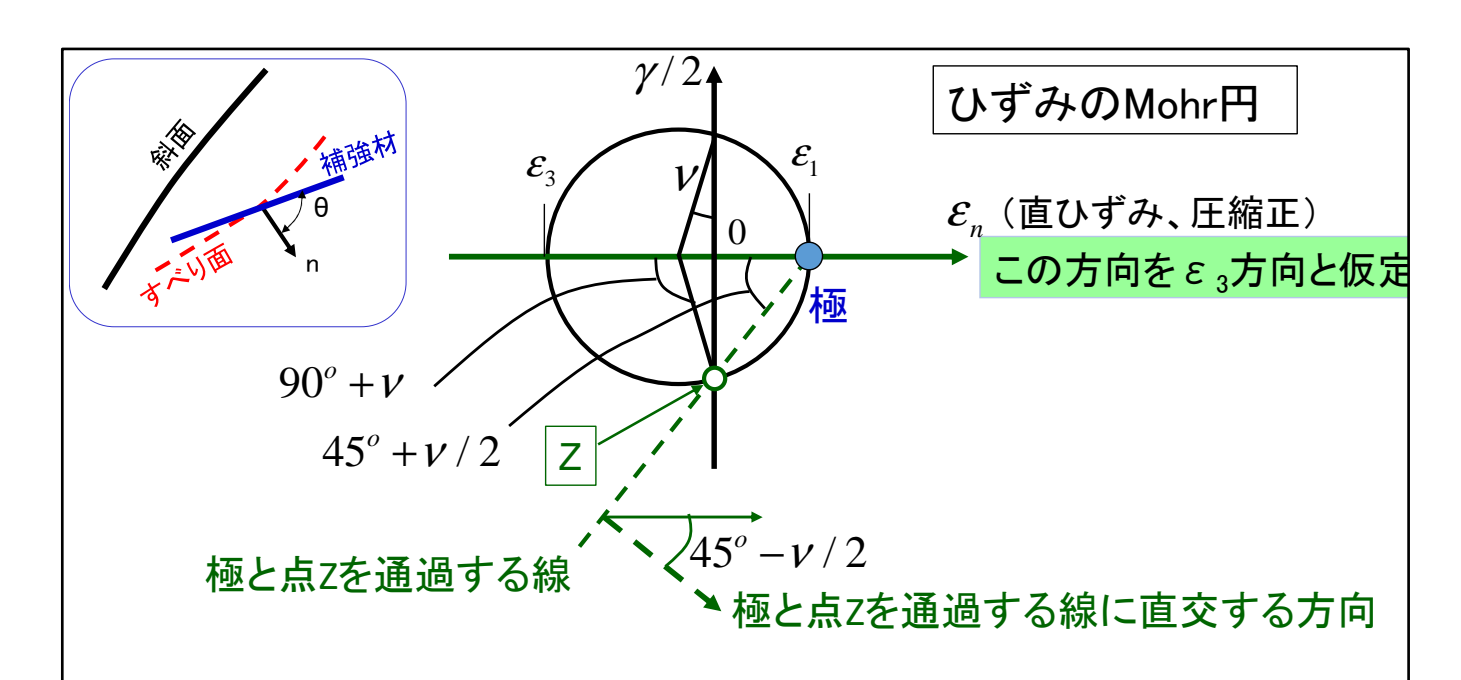
ν: ピーク応力状態でのダイレイタンシー角)

今、 ε_n 軸の方向が ε_3 が生じている方向と一致しているとします。

すると、座標が $(\varepsilon_n = \varepsilon_1, \gamma/2 = 0)$ である点P1は、極と言われる点となります。

極を通過する線とひずみの モール円との交点(図での \blacksquare の点)の座標が、「この方向に 生じる直ひずみ ε 」と「この方 向の面に生じるせん断ひずみ /2= γ /2」を表します。

極を通過する水平線は、ひずみのモール円と点P3で交わるので、点P3の座標は $(\varepsilon_n = \varepsilon_3, \gamma/2 = 0)$ となります。

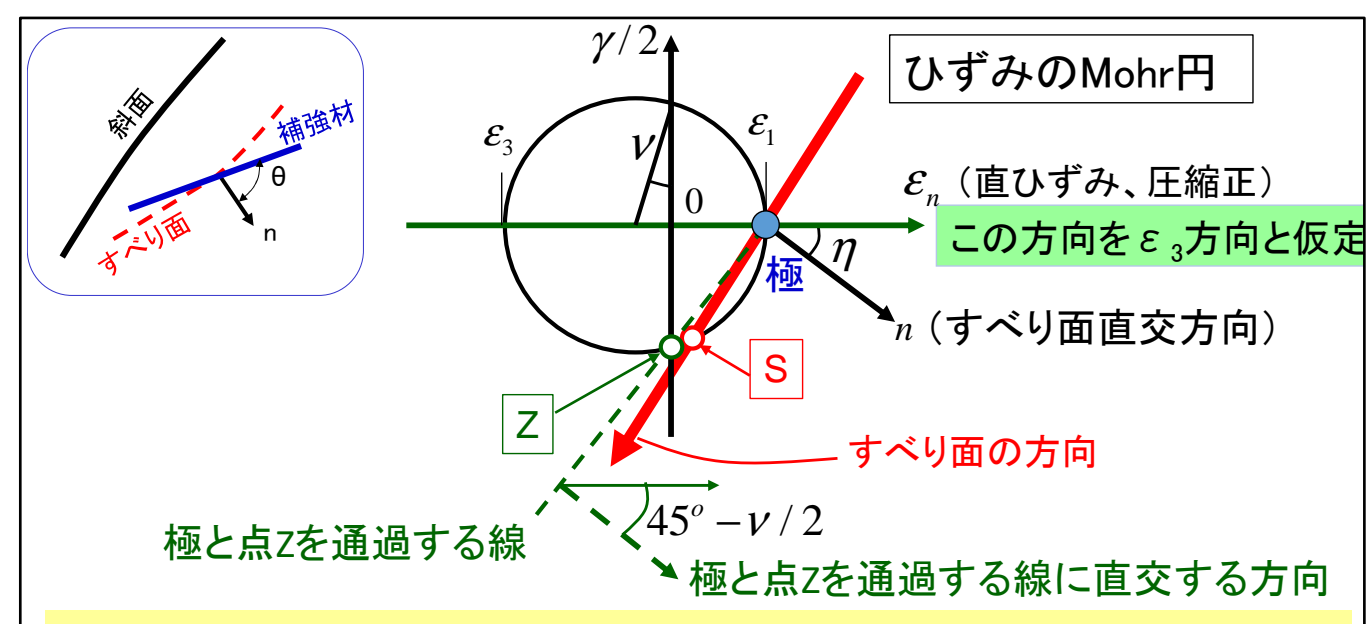


ν: ピーク応力状態でのダイレイタンシー角)

$$\sin \nu = -\frac{(\varepsilon_1 + \varepsilon_3)/2}{(\varepsilon_1 - \varepsilon_3)/2} \to \varepsilon_1 = -\varepsilon_3 \cdot \frac{1 - \sin \nu}{1 + \sin \nu}$$
 (6)

この図で、点Zの座標は $(\varepsilon_n=0, \gamma/2)$ であり、極から 出発して点Zを通過する線の 方向では $\varepsilon_n=0$ となり、この方向は伸びも縮みもしません。

この線に直交する方向と ε_3 の方向である水平線のなす角度は、ひずみのモール円の幾何学から 45° - ν /2になります。



[すべり面方向]

- •すべり面が σ_1 方向= ε_1 方向となす角度は $\eta = 45^\circ \phi/2$ である $\nu < \phi$ であるから、すべり面方向の直ひずみはゼロではなく、やや圧
 - 縮になる

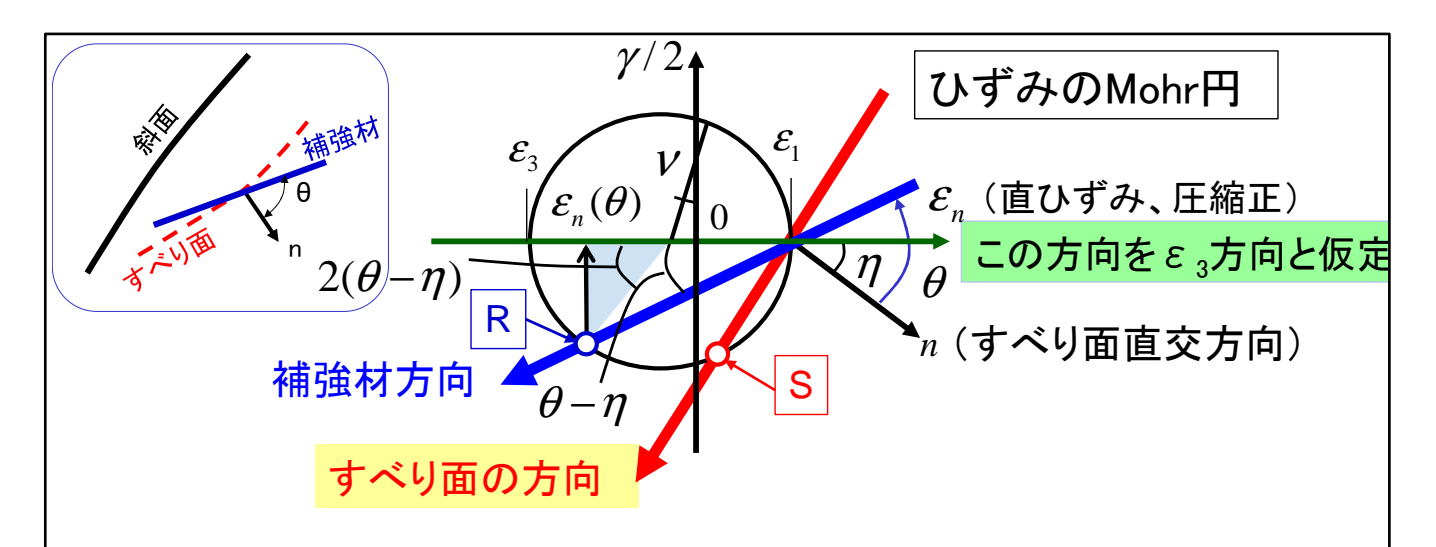
ν: ピーク応力状態でのダイ レイタンシー角)

$$\sin \nu = -\frac{(\varepsilon_1 + \varepsilon_3)/2}{(\varepsilon_1 - \varepsilon_3)/2} \to \varepsilon_1 = -\varepsilon_3 \cdot \frac{1 - \sin \nu}{1 + \sin \nu} \quad (6)$$

すべり面が σ_1 方向= ε_1 方向となす角度は $\eta=45^{\circ}-\phi/2$ であるので、極を通過してすべり面の方向となる線は、図に示すようになり、ひずみのモール円とは点Sで交差します。

土の性質として、ダイレイタ ンシー角 ν は内部摩擦角 ϕ よりも常に30度ほど小さい。

従って、すべり面方向の直ひずみを表す点Sでの ε μ座標は 正(圧縮)となります。これは、 すべり面方向ではやや圧縮ひずみが生じることを表していま す。



ν: ピーク応力状態でのダイレイタンシー角)

$$\sin \nu = -\frac{(\varepsilon_1 + \varepsilon_3)/2}{(\varepsilon_1 - \varepsilon_3)/2} \rightarrow \varepsilon_1 = -\varepsilon_3 \cdot \frac{1 - \sin \nu}{1 + \sin \nu}$$
 (6)

三角形の幾何から、 補強材方向の直ひずみは、 $\varepsilon_n(\theta) = \frac{\varepsilon_1 + \varepsilon_3}{2} - \frac{\varepsilon_1 - \varepsilon_3}{2} \cdot \cos\{2(\theta - \eta)\}$ (7)

従って、
$$f(\theta) = \frac{\mathcal{E}_n(\theta)}{\mathcal{E}_3} = \frac{2 \cdot \cos^2(\theta - \eta) - (1 - \sin \nu)}{1 + \sin \nu}$$
(5)

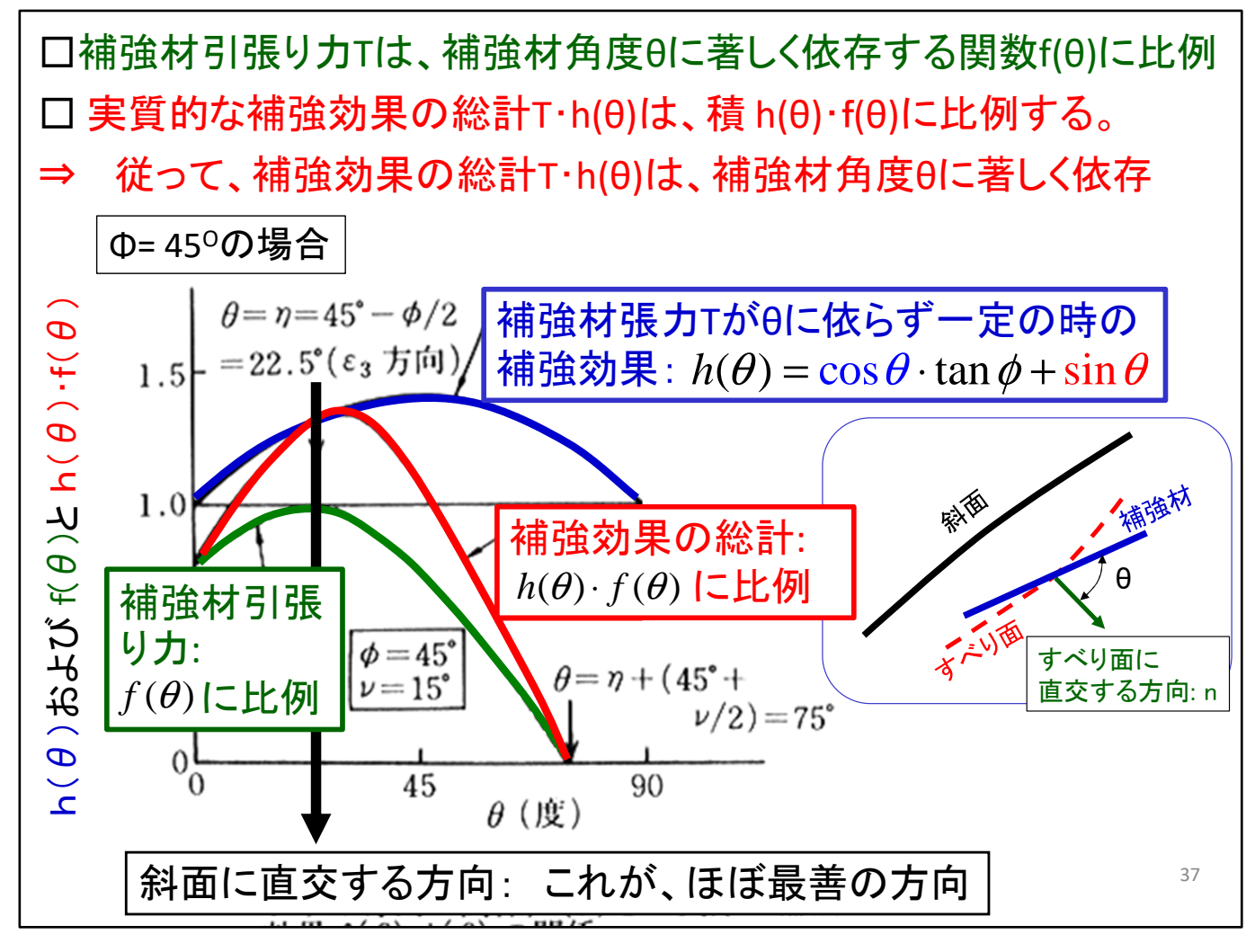
すべり面に直交する方向から補強材の方向がなす角度を θとすると、その方向は図に 示すようになります。

その線とひずみのモール円 の交点Rの ε ,座標が、補強材 に発生しようとする直ひずみ ε ,(θ)です。

すると、図に示す三角形の 幾何学から、式(7)が得られま す。

式(6)と式(7)から式(5)が得られて、関数 $f(\theta)$ ~ θ 関係が得られます。

このことを次頁(27頁の再録)に示す図をもう一度見て、 理解して下さい。



この図は、 ϕ = 45度でc=0の場合での、

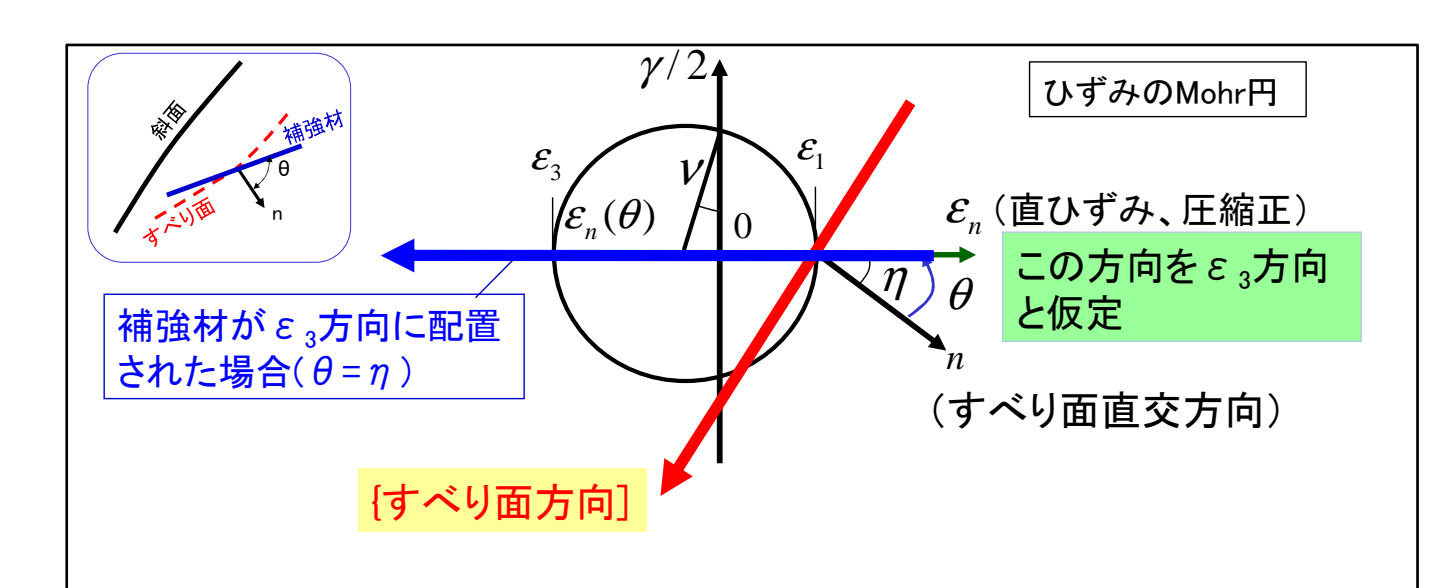
- ・補強材引張り力Tが一定の場合 での補強効果を表す関数 $h(\theta)$ 、
- •Tの θ 依存性を表す関数 $f(\theta)$ 、および
- ・補強効果の総計を表す両者の 積 $h(\theta)$ · $f(\theta)$

と角度 θ の関係です。

Tの θ 依存性を表す関数 $f(\theta)$ は、角度 θ が「直ひずみ ϵ 」が最大引張り ϵ 」に等しくなる角度」になった時に最大値1.0となります。この角度は、斜面に直交する方法に近い。

従って、補強効果の総計を表す $h(\theta)$ · $f(\theta)$ は、角度 θ に強く依存 します。引張り補強は、 $h(\theta)$ · $f(\theta)$ が最大になる方向に設置すると最も効果的になります。

次に、Tの θ 依存性を表す関数 $f(\theta)(式(5))$ の導入法を説明します。



ν: ピーク応力状態でのダイレイタンシー角)

$$\sin \nu = -\frac{(\varepsilon_1 + \varepsilon_3)/2}{(\varepsilon_1 - \varepsilon_3)/2} \to \varepsilon_1 = -\varepsilon_3 \cdot \frac{1 - \sin \nu}{1 + \sin \nu}$$

補強材方向の直ひずみは、
$$\mathcal{E}_n(\theta) = \frac{\mathcal{E}_1 + \mathcal{E}_3}{2} - \frac{\mathcal{E}_1 - \mathcal{E}_3}{2} \cdot \cos\{2(\theta - \eta)\} = \mathcal{E}_3$$

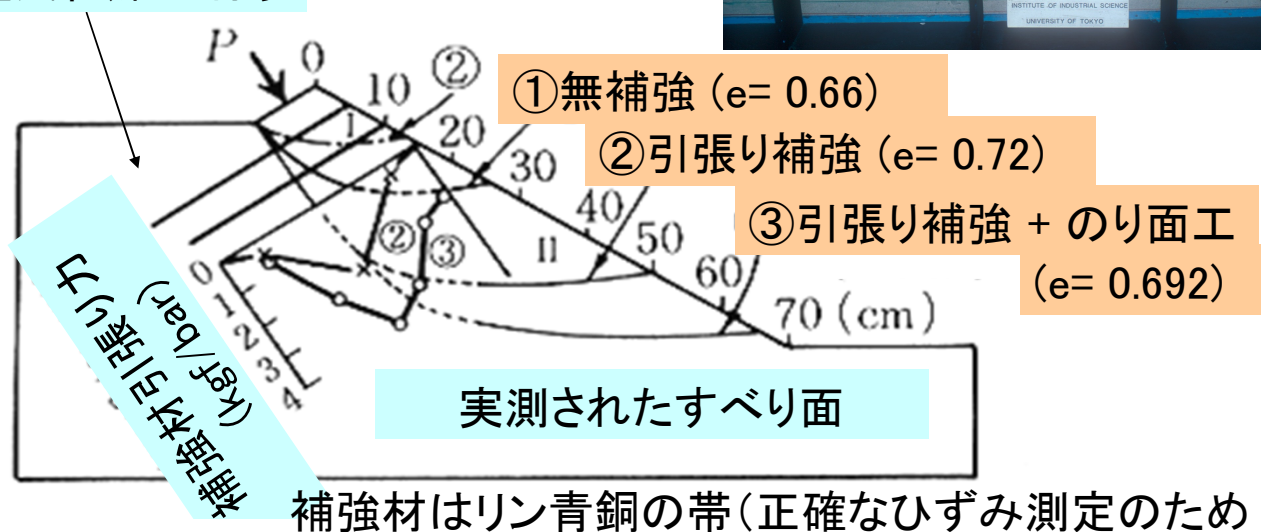
$$f(\theta) = \frac{\mathcal{E}_n(\theta)}{\mathcal{E}_3} = \frac{2 \cdot \cos^2(\theta - \eta) - (1 - \sin \nu)}{1 + \sin \nu} = 1.0$$

補強材の方向が ε_3 の方向と一致した場合は、 $\theta = \eta$ となり $\varepsilon_n(\theta) = \varepsilon_3$ となるので、 $f(\theta) = 1.0$ となり、引張り補強が最も効果的になります。

地山補強土工法の模型実験

- 引張り補強材の効果
- のり面工の効果 の検討

空気乾燥豊浦砂



Gutierrez, V. and Tatsuoka, F. (1988), "Role of facing in reinforcing cohesionless soil slopes by means of metal strips", *Proc. of Int. Geotechnical Symposium on Theory and Practice of Earth Reinforcement (IS-Kyushu '88)*, Fukuoka, pp.289-294.

地山(既に存在する盛土斜面 や自然斜面)を補強する工法 (地山補強土工法)のメカニズ ムを理解するために行った室内 模型実験を紹介します。

空気乾燥した砂を用いて斜面 を作製しています。引張り補強 材の効果とのり面工の効果を 検討するために、

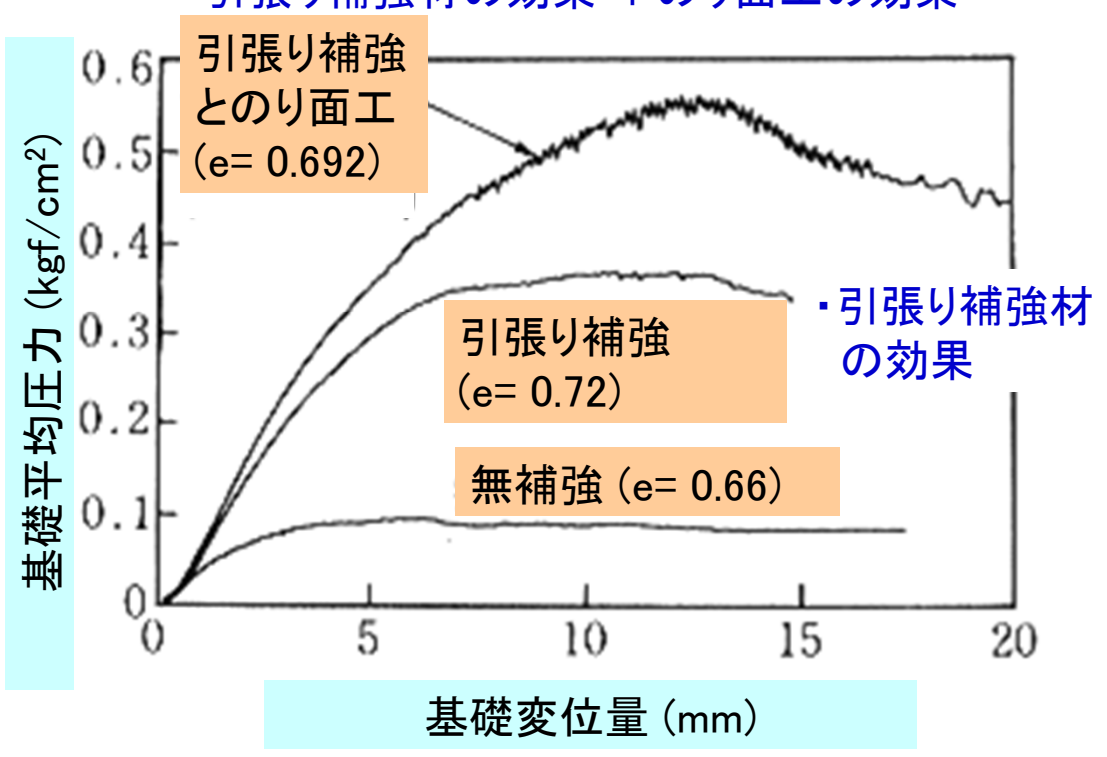
- ①無補強の斜面、
- ②帯状の引張り補強材を配置した斜面、
- ③引張り補強材に加えて、その 先端にのり面工を連結した斜 面

の計三つの斜面で、帯基礎を 斜面の天端に配置して荷重Pを 加えています。右上の写真は模 型を側面から見たものです。

この図に示すすべり面と補強 材引張り力は、以下順次説明し ます。

基礎平均圧力が増加するほど、斜面は安定化する





これは、帯基礎に加えた平 均圧力と基礎の変位の関係です。基礎平均圧力が増加する ほど、斜面は安定化している ことになります。

基礎平均圧力の最大値は、

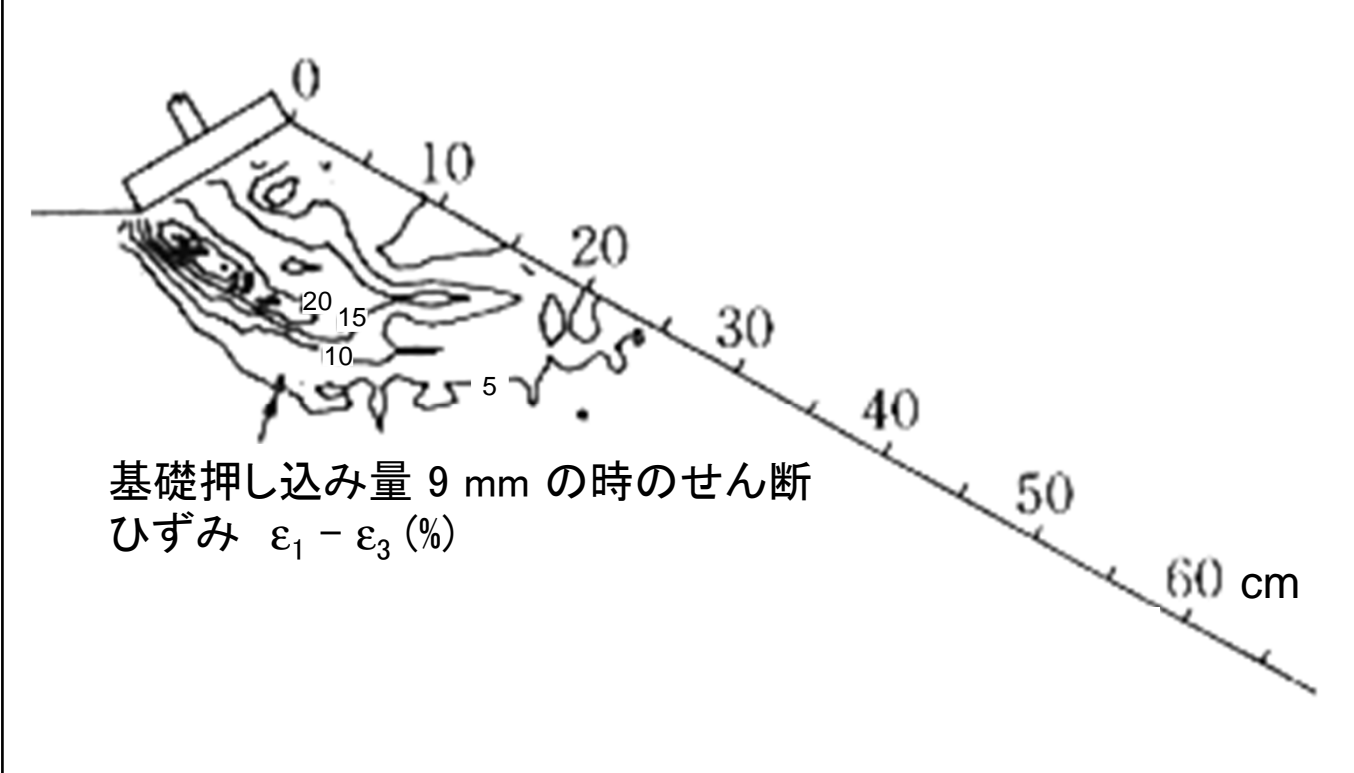
①無補強の斜面、

40

- ②帯状の引張り補強材を配置 した斜面、
- ③引張り補強材に加えて、そ の先端にのり面工を連結し た斜面
- の順で、次第に大きくなっていることが分かります。

次頁以降で、そのメカニズム を検討します。

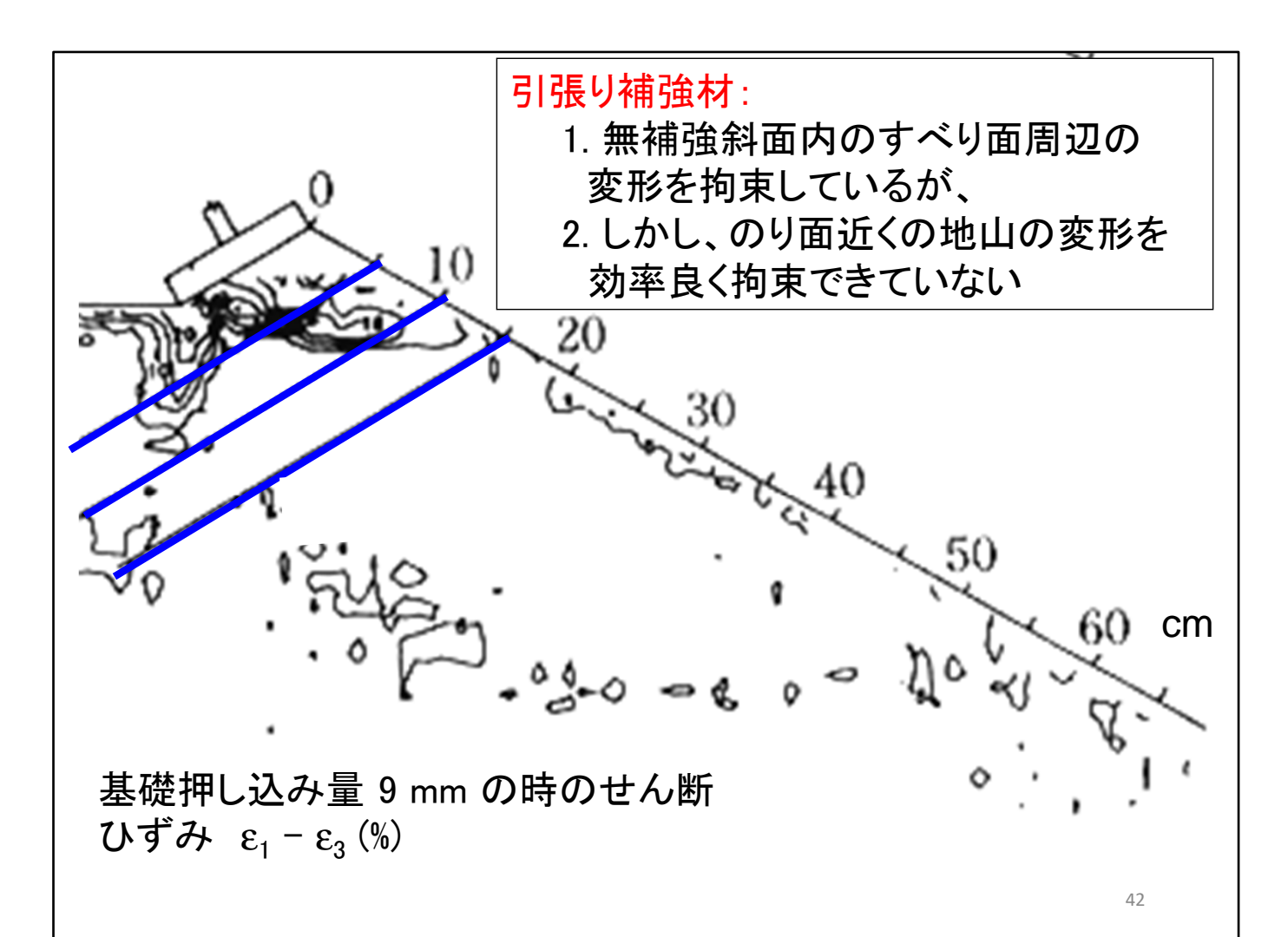
無補強斜面内のひずみ分布



これは、無補強斜面の模型の脇から撮影した写真を解析して得られた、模型側面で見られた最大せん断ひずみ ε_1 - ε_3 の等高線群を示しています。基礎の踵(かかと)の位置から斜面内に向かって「せん断ひずみが大きい帯状の領域」が発達しているのが分かります

これは、すべり面は、実際は「ひずみ集中しているすべり 層」であることを表しています。

41



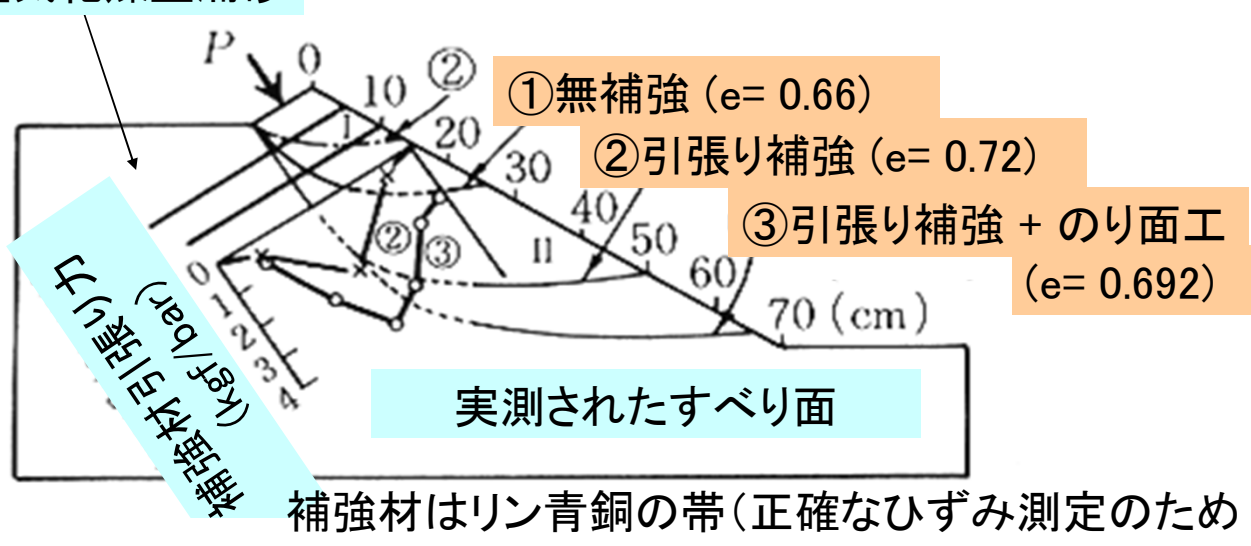
これは、無補強斜面で生じた 大きなひずみの発達を抑制するために、ひずみが大きな領域内に最大引張りひずみ ε_3 の方向に、各層に帯状引張り補強材を複数配置し、それを三層配置した結果です。

引張り補強材は、無補強斜 面内のすべり面周辺の変形を 拘束していることが分かります。

しかし、のり面近くの地山の 変形を効率良く拘束できてい ません。その結果、浅いすべ りが生じてしまっています。

- ②の斜面での三層目の補強材に発揮された引張り力の分布」
- ・すべり面位置で最大値
- ・最深部の端部とのり面位置の頭部の自由端では、引張り力はゼロ

空気乾燥豊浦砂

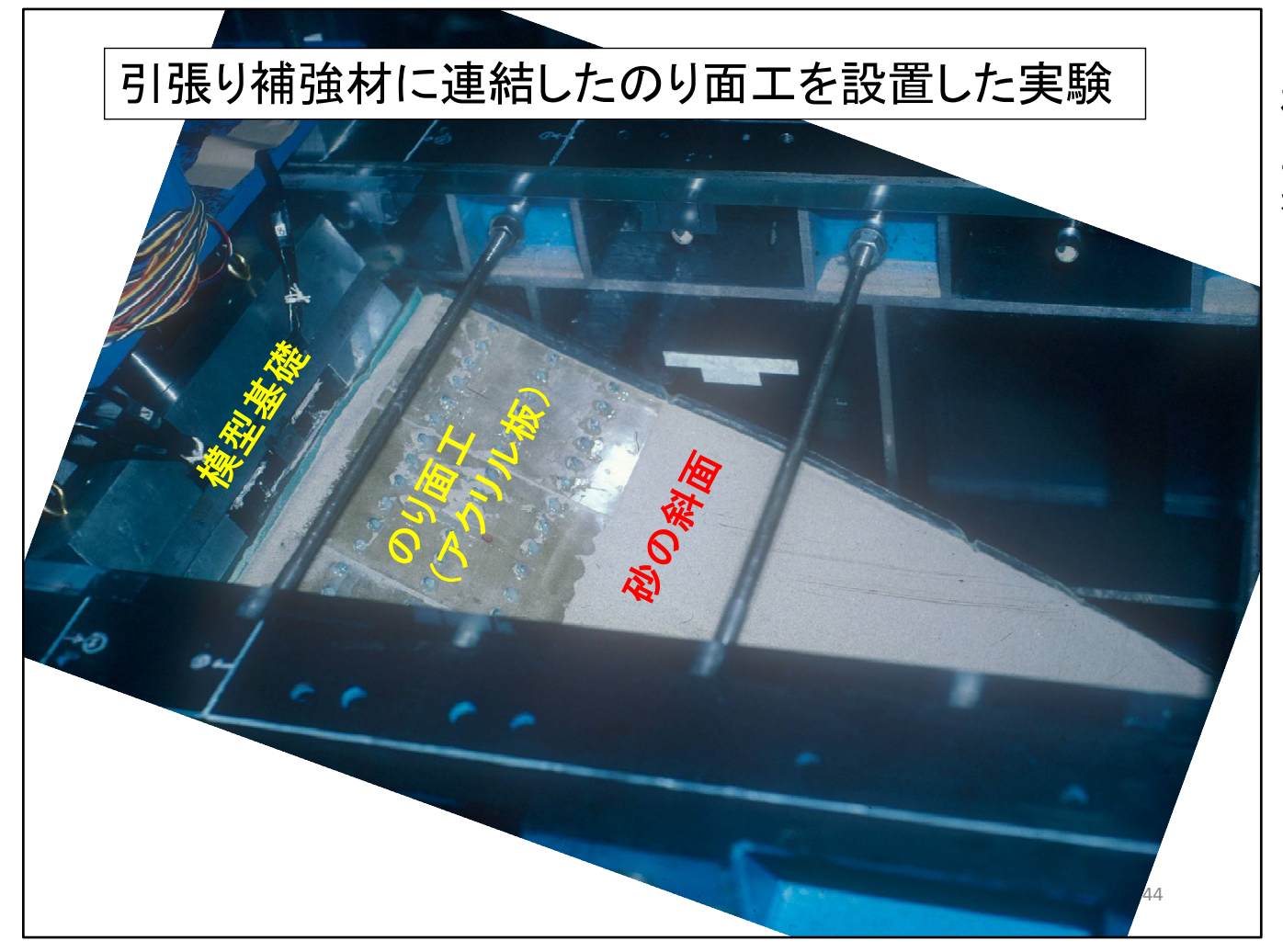


②帯状の引張り補強材を配置 した斜面での三層目の補強材 に発揮された引張り力の分布を 見ると、大きな引張り力が発揮 されていて、補強材は働いてい ることを示しています。

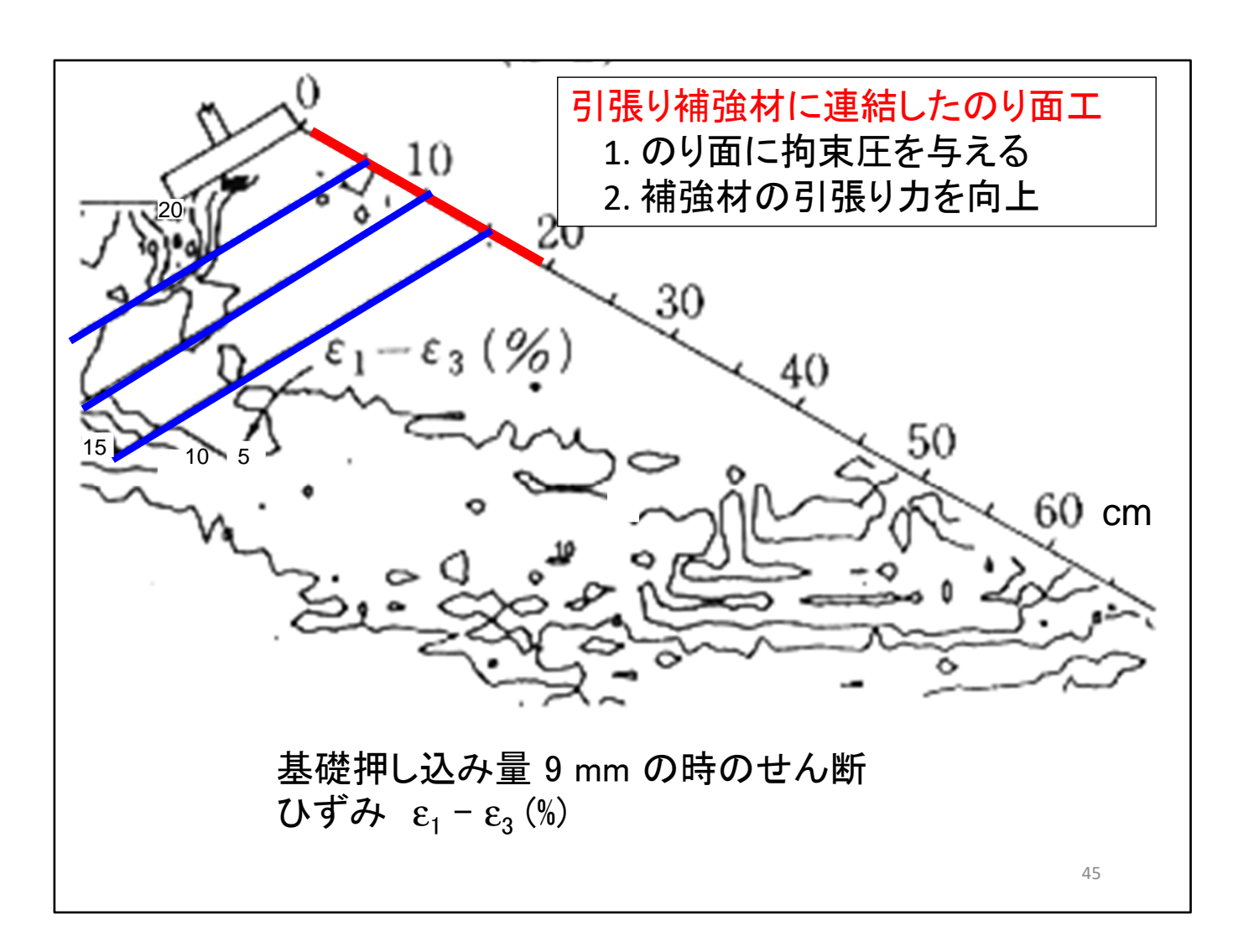
引張り力は、すべり面位置で 最大値を示していて、すべり面 よりものり面に近い領域の土塊 は補強材によって引き留められ ていること、すべり面よいも深い 領域の土塊は補強材が抜け出 ることを抑えていることが分かり ます。

また、最深部の端部とのり面 位置の頭部の自由端では、必 然t的に引張り力はゼロです。こ のことが発揮される引張り力の 最大値に一定の制約を与えて いることが分かります。

43



次に、写真に示すように、補強 材の頭部にアクリル製ののり面 工を連結して配置した模型実験 を行っています。

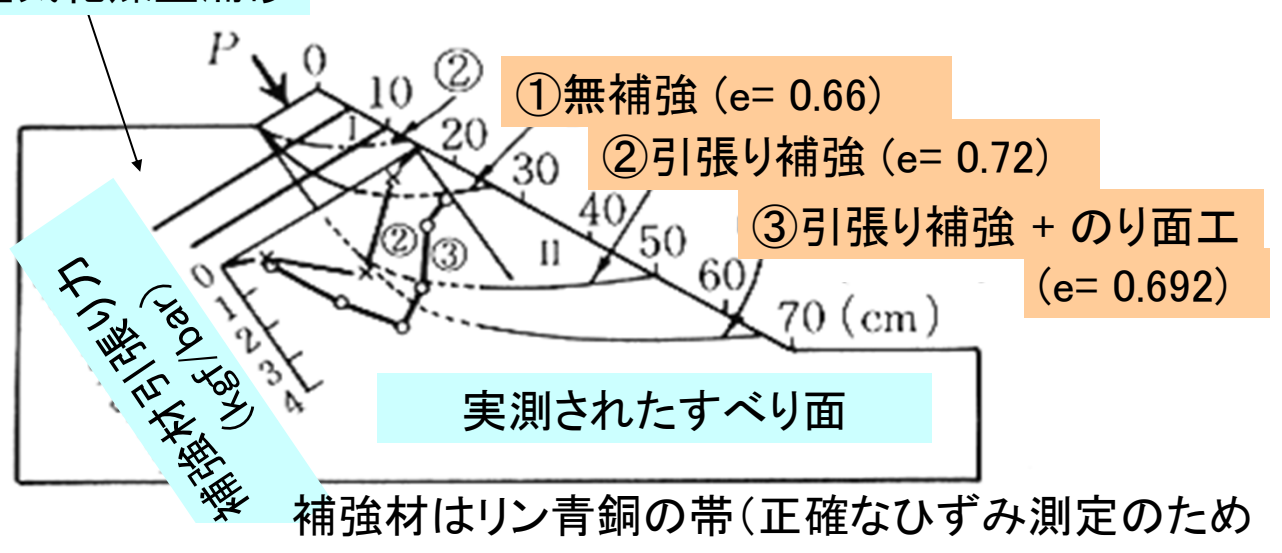


引張り補強材の頭部に連結 したのり面工は、のり面に拘 東圧を与えることによってのり 面近くでのひずみの発達を抑 制して、斜面を安定化させて います。

すべり層(すべり面)の位置 は深くなっています。すべり土 塊が大きくなるほど、斜面を破 壊するのに必要な外荷重は大 きくなります。すなわち、斜面 はより安定化したことを意味し ます。

- ③の斜面での三層目の補強材に発揮された引張り力の分布」
- ・すべり面位置で最大値
- ・頭部でののり面工と連結部で大きな引張りカ→すべり面位置での 引張り力を増加

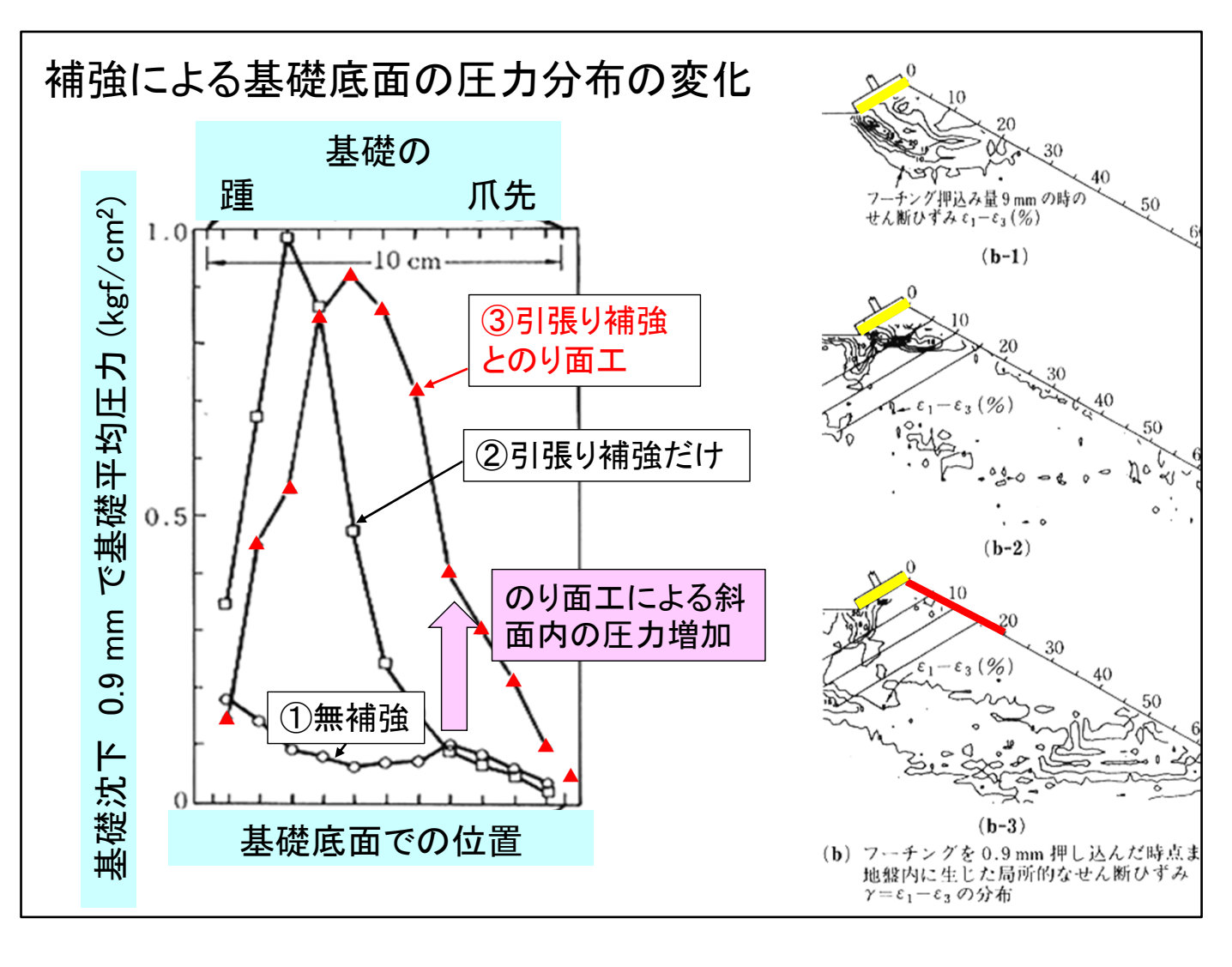
空気乾燥豊浦砂



③帯状の引張り補強材を配置した斜面での三層目の補強材に発揮された引張り力の分布を見ると、②の場合よりも大きな引張り力が発揮されていて、補強材はより有効に働いていることを示しています。

また、頭部でののり面工との 連結部において大きな引張り力 が発揮されていて、引張り力の 最大値を増加させています。

46



これは、帯基礎の底面での圧力分布の補強による変化です。

- ①無補強の斜面では、全体的 に圧力が低く、斜面の耐力が低 いことを示しています。
- ②引張り補強材を配置した斜面では、踵(かかと)に近くなると圧力が大きくなっているが、のり面に近く爪先に近い位置では圧力は大きくなっていません。これは、引張り補強材だけではのり面に近いすべりの発生を抑制できず、のり面近くの斜面の耐力は小さいままであったことを示しています。
- ③引張り補強材に加えて、その先端にのり面工を連結した斜面では、のり面に近い位置でも圧力が増加しています。これは、のり面工によってのり面近くの斜面が拘束されて耐力が増加したことを示しています。

地山補強土工法の模型実験のまとめ

引張り補強材の機能:

- 1. 無補強斜面内のすべり面周辺の変形を拘束
- 2. しかし、引張り補強材単独では、のり面近くの斜面の変形を 効率良く拘束できない

引張り補強材に連結したのり面工の機能

- 1. のり面に拘束圧を与えて、浅いすべりの発生を防止する
- 2. 補強材の引張り力を向上し、斜面全体の安定性を向上

地山補強土工法の模型実験の結果のまとめです。

引張り補強材の機能としては:

- 1. 無補強斜面内のすべり面周 辺の変形を拘束する。
- 2. しかし、引張り補強材単独では、のり面近くの斜面の変形を効率良く拘束できない。

引張り補強材に連結したのり 面工の機能としては、

- 1. のり面に拘束圧を与えて、浅いすべりの発生を防止する。
- 2. 補強材の引張り力を向上して、 斜面の安定性を向上させる。

補強のメカニズムのまとめ

基本原理:

無補強の盛土・地盤の破壊時に、その内部で発生するひずみを、 補強によって抑制

- ⇒そのひずみが発生する領域の位置と最小ひずみ(最大引張りひず み)の方向が重要な情報
- 3) 抗土圧 一補強土擁壁

(第二回での説明の発展、次節で詳細に議論) 従来形式の擁壁は片持ち梁構造、補強土壁は非片持ち梁構造 引張り補強による擁壁の安定化

補強材の剛性と壁面工の剛性による四つの分類

- ・補強材の素材の剛性だけが重要な要因ではない
- ・壁面工の剛性・一体性も、補強土壁の安定には非常に重要 段階施工による剛な一体壁面工の建設

次回は、3)土圧に抵抗する 補強土擁壁での補強メカニズ ムについてです。